



UNIVERSITÀ  
DEGLI STUDI  
DI PADOVA



UNIVERSITÀ DEGLI STUDI DI PADOVA

DIPARTIMENTO DI INGEGNERIA DELL'INFORMAZIONE

CORSO DI LAUREA TRIENNALE IN  
INGEGNERIA DELL'INFORMAZIONE

# Braccio robotico a 3 assi per la scrittura su tastiera: progettazione e scrittura del codice

*Relatore:*

PROF. MATTO MENEHINI

*Laureanda:*

GIULIA PIZZATO

1218012

Anno Accademico 2021/2022

22 Settembre 2022



## **Ringraziamenti**

*Ringrazio la mia famiglia, che mi è stata vicino dal primo momento. Ringrazio il mio ragazzo, che mi ha spronato nei momenti di sconforto. Ringrazio i miei amici, senza i quali non sarei arrivata fin qui. E infine ringrazio me stessa, che sono riuscita a credere in me e non mollare fino alla fine.*



## Abstract

Questa tesi ha lo scopo di mostrare come si è ideato, progettato e scritto software per un braccio robotico a 3 assi. L'obbiettivo è permettere al braccio di riprodurre un testo scritto ricevuto in input. Dopo aver calcolato la mappatura delle coordinate di ogni lettera, verrà nella tesi descritta la gestione del movimento degli assi del robot. In seguito prima si descriverà il robot utilizzato con le sue caratteristiche hardware, e poi si parlerà del problema del movimento degli assi e della sua modellizzazione. Verrà quindi esposto l'effettivo codice, spiegato nelle sue parti più importanti, per concludere con le possibilità di miglioramento e sviluppo futuri.



# Indice

<b>1</b>	<b>Introduzione</b>	<b>1</b>
<b>2</b>	<b>Specifiche di Progetto</b>	<b>3</b>
2.1	Obiettivi . . . . .	3
2.2	Assunti . . . . .	4
2.3	Vincoli . . . . .	4
<b>3</b>	<b>Hardware</b>	<b>7</b>
3.1	Servomotori . . . . .	8
3.1.1	Dati . . . . .	9
3.1.2	Principio di funzionamento . . . . .	10
3.2	Scheda Adeept . . . . .	12
<b>4</b>	<b>Basi Teoriche</b>	<b>15</b>
4.1	Definizione e caratteristiche di un braccio robotico . . . . .	15
4.2	Controllo di un braccio robotico . . . . .	16
4.2.1	Cinematica Diretta . . . . .	17
4.2.2	Cinematica Inversa . . . . .	17
4.3	Controllo del braccio robotico ADA031-V4.0 . . . . .	17
<b>5</b>	<b>Codice a blocchi</b>	<b>21</b>
5.1	Matlab . . . . .	23
5.1.1	Mappatura cartesiana dei tasti . . . . .	23
5.1.2	Trasformazione da coordinate cartesiane a coordinate polari	25
5.1.3	Calcolo degli angoli tramite la Cinematica Inversa . . . . .	26
5.1.4	Controllo della raggiungibilità dei tasti . . . . .	27
5.1.5	Funzione printAngles() . . . . .	28
5.2	Arduino . . . . .	28
5.2.1	Ciclo loop . . . . .	29

---

5.2.2	Funzione writeLetter() . . . . .	29
5.2.3	Funzione moveServo() . . . . .	31
5.2.4	Funzione moveNeutral() . . . . .	33
<b>6</b>	<b>Verifica funzionamento</b>	<b>35</b>
<b>7</b>	<b>Miglioramenti futuri</b>	<b>37</b>
<b>8</b>	<b>Conclusioni</b>	<b>39</b>
<b>A</b>	<b>Codice</b>	<b>41</b>
A.1	Matlab . . . . .	41
A.2	Arduino . . . . .	49
	<b>Bibliografia</b>	<b>59</b>

# Capitolo 1

## Introduzione

I robot oggi fanno parte integrante della nostra realtà. Grazie ad essi siamo riusciti a raggiungere risultati incredibili: robot come il “The da Vinci Surgical Robot” permettono operazioni chirurgiche di precisione [1], altri sono al centro di opere artistiche come nella famosa “Can’t help myself” degli artisti Sun Yuan e Peng Yu [2], per non parlare dell’intero settore dell’automazione industriale.

Uno dei robot più noti, e quello che accomuna gli esempi sopra portati, è il braccio robotico.

Un braccio robotico è una tipologia di braccio meccanico programmabile e riprogrammabile. Salvo robot antropomorfi per scopi speciali, i bracci robotici hanno un numero di assi generalmente compreso tra i tre e i sei e possono rappresentare sia il sistema completo che essere parte di un sistema più ampio e complesso. Questo genere di braccio ricorda molto quello umano e spesso le sue parti prendono nomi come braccio superiore, gomito, avambraccio, polso e mano [3].

Il primo braccio meccanico sofisticato è stato ideato da Leonardo Da Vinci nel 1495, era dotato di 4 gradi di libertà e in grado di afferrare oggetti solamente muovendo tutti gli arti assieme. Era dotato di un controllore programmabile “a bordo” che provvedeva potenza e controllo sul braccio [4]. Da allora la tecnologia ha portato a passi sempre più ampi di innovazione, raggiungendo risultati come l’introduzione del primo robot industriale prodotto da Unimate nel 1961, robot che si è poi evoluto nel braccio PUMA, o come il primo braccio bionico indossato da Campbell Aird nel 1993 [4, 5].

Basati sul modello del braccio umano, questi robot sono dotati di grande flessibilità e mobilità e sono in grado di svolgere attività umane senza sosta e con grandissima precisione. Ma questi vantaggi vengono ad un costo: una grande

difficoltà analitica. Proporzionalmente al numero di giunti aumentano assieme la difficoltà nel controllo e la possibilità d'azione, un trade-off intrinseco alla tecnologia e all'innovazione.

In questa tesi si è deciso di sfruttare le capacità del braccio robotico ADA031-V4.0 dell'azienda Adept [6] e scrivere software che renda il robot in grado di premere correttamente i tasti su una tastiera in base ai caratteri dati in input. Presenterò quindi in questo documento l'analisi matematico-strutturale di un braccio meccanico antropomorfo a 3 assi, tipologia in cui rientra il robot utilizzato, per poi esporre lo sviluppo del progetto.

Nello specifico la tesi si svilupperà come segue. Si inizierà dando le specifiche di progetto nel Capitolo 2, esponendo obiettivi, vincoli e assunti della tesi. Nel Capitolo 3, si andrà a presentare approfonditamente l'hardware usato e le sue limitazioni. I capitoli Capitolo 4 e Capitolo 5 verranno invece dedicati alla discussione della teoria dietro al funzionamento del codice e alla spiegazione approfondita dello stesso. La verifica del funzionamento e le conseguenti osservazioni possono essere trovate nel Capitolo 6. Infine i capitoli Capitolo 7 e Capitolo 8 verranno dedicati alle proposte di miglioramento per sviluppi futuri del progetto ed alla conclusione del documento. È possibile trovare il codice completo in Appendice A.

# Capitolo 2

## Specifiche di Progetto

In questa sezione verranno esposti gli specifici obiettivi, gli assunti e i vincoli del progetto.

### 2.1 Obiettivi

Questo progetto è stato intrapreso con lo scopo di sviluppare software in grado di permettere al braccio robotico di scrivere, attraverso una tastiera, una o più frasi date in input. Nello specifico il progetto deve essere in grado di:

- Ricevere in input da tastiera una stringa, interpretarla come una serie di caratteri separati e identificare la posizione di ciascun carattere sulla tastiera.
- Calcolare correttamente gli angoli che ciascun motore servo deve assumere affinché la posizione finale del robot prema il tasto.
- Rimanere in ascolto, accettare e processare in ordine FIFO tutti gli input dati da tastiera, anche se sono scritti mentre gli input precedenti stanno ancora venendo processati.
- Muovere i servo al fine di raggiungere la posizione desiderata senza che il robot si scontri in alcun modo con la tastiera o il piano su cui è poggiato.
- Muovere i servo ad un'andatura sufficientemente fluida da evitare il danneggiamento dell'hardware.
- Avvisare l'utente se qualsiasi dei caratteri ad input non è presente sulla tastiera o non è raggiungibile.

- Assumere una posizione neutra quando non sono presenti input da tastiera.
- Stampare sullo schermo OLED, connesso alla scheda elettronica, la lettera mentre sta venendo scritta.

## 2.2 Assunti

Gli assunti di progetto sono quelle caratteristiche che devono necessariamente essere presenti per il corretto funzionamento del codice.

Si assume che il robot:

- Lavori su una tastiera planare.
- Sia fissato sulla stessa superficie piana della tastiera, in una determinata posizione mostrata in figura 2.1.
- Lavori sulla tastiera di un computer del modello “MacBook Air (13 pollici, 2017)”, mostrata in figura 2.1.
- Sia costantemente connesso, con l’apposito cavo, ad un computer su cui è caricato il software. Questo è necessario per ricevere l’input da tastiera.
- Lavori con una penna di lunghezza 55 mm posizionata saldamente sull’estremità ed a 90° rispetto il terzo link del robot.

## 2.3 Vincoli

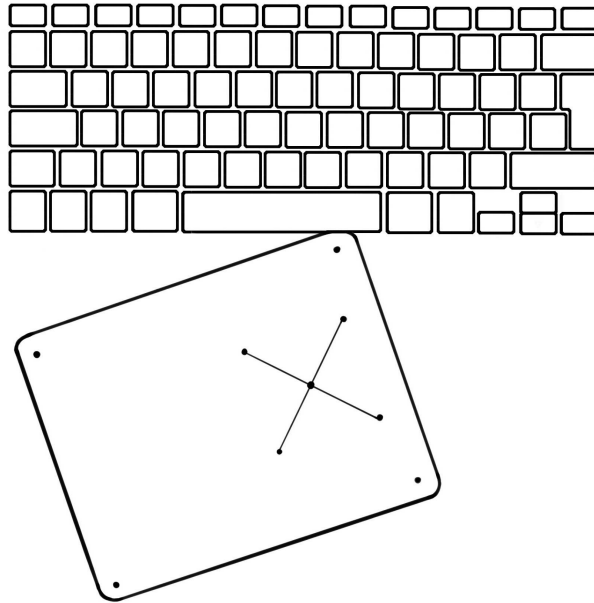
I vincoli di progetto sono tutti quei dettagli o quelle caratteristiche intrinseche che limitano la qualità del progetto.

Il fattore più importante è sicuramente l’hardware a disposizione. I bracci meccanici hanno di loro natura delle limitazioni, come l’impossibilità di compiere più azioni contemporaneamente, che aggiunte alle limitazioni meccaniche dello specifico hardware hanno portato a dei chiari vincoli.

Questo è un progetto ideato per essere svolto in circa 75 ore (3 CFU) e quindi non confrontabile con le caratteristiche e raffinatezze che un lavoro di anni sicuramente presenterebbe.

A causa di questi fattori ci sono delle chiare limitazioni.

Il braccio:



**Figura 2.1:** Posizione del robot sulla tastiera

- Non è in grado di raggiungere tutti i tasti della tastiera per motivazioni meccaniche (braccio di lunghezza insufficiente).
- Non può scrivere caratteri che necessitano di una combinazione di tasti. Avendo un solo end effector è di natura impossibilitato a pigiare più tasti contemporaneamente.
- Non può premere caratteri di controllo (come “esc”, “invio” o “canc”) in quanto sono tasti non leggibili dal codice come stringhe in input.
- Non può avere contemporaneamente massima velocità e fluidità nei movimenti. Si è dovuto scegliere un trade-off soddisfacente.
- Non può lavorare per lunghi periodi per il riscaldamento ed affaticamento dei motori.

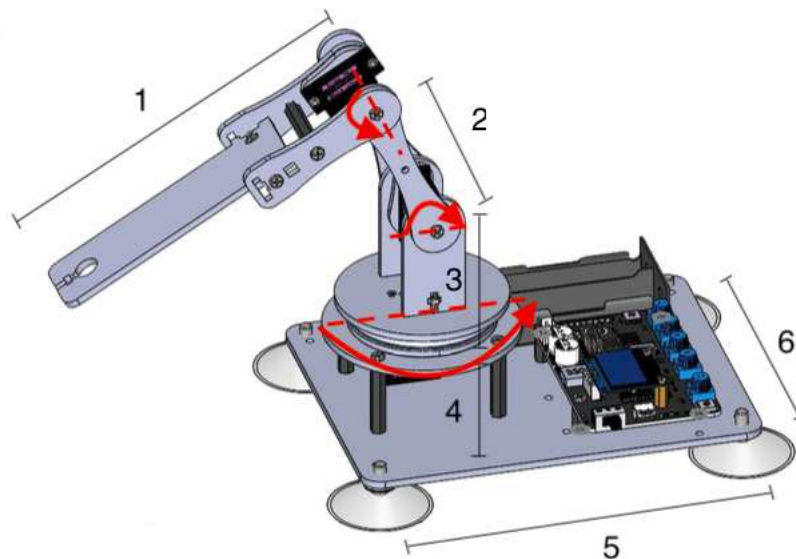
Fatte queste precisazioni si andrà a presentare nel prossimo capitolo l'hardware utilizzato.



# Capitolo 3

## Hardware

Il braccio robotico utilizzato è il modello ADA031-V4.0 dell'azienda Adept, commercialmente chiamato "Adept 5-DOF Robotic Arm Kit Compatible with Arduino IDE". Come visibile in figura 3.1, si tratta di una struttura a tre assi e tre giunti. Ogni giunto è dotato di un servomotore AD002 che, connesso alla "Adept Arm Drive Board", permette il movimento e il controllo delle parti rigide. I motori servo di questo braccio hanno un range di movimento di  $180^\circ$ , nelle direzioni mostrate dalle frecce rosse, sempre in figura 3.1.



**Figura 3.1:** Dimensioni Robot Adept

**Tabella 3.1:** Misurazioni fatte con strumentazione non specializzata, intervallo d'errore stimato sul mm

Pezzo	Dimensioni $\pm 1$ mm	Numero in figura 3.1
Asse3	147	1
Asse2	65	2
Asse1	50	3
Rialzo dalla base	35	4
Base	282×115	5×6

La struttura è realizzata in plastica nera ed è posizionata su una pedana circolare, dotata di un cuscinetto e rialzata rispetto la base del robot. Sull'estremità finale del braccio è stato aggiunto un end-effector, creato appositamente per il progetto, che permette una maggiore precisione. Si tratta di un puntatore dotato di molla sulla punta, che permette una maggior pressione senza che si rischi lo sforzo dei motori 3.2.

Le articolazioni non sono dotate di sensori, eccetto i controllori della retroazione dei servomotori che hanno l'obiettivo di fermare la rotazione una volta raggiunto l'angolo desiderato. Sono detti di giunti attuati non sensorizzati.

**Figura 3.2:** Puntatore

## 3.1 Servomotori

Il termine servomotore si riferisce ad un insieme di elementi che controlla il funzionamento dei componenti meccanici nel servosistema. Si tratta di dispositivi a corrente continua, dotati di un motore, un riduttore e una scheda elettrica adibita al controllo a catena chiusa. Si connettono alla drive board attraverso tre cavi

segnati con codice colore, uno per l'alimentazione, uno per la massa e uno per il segnale.

I servomotori sono di due tipologie, quelli standard e quelli a rotazione continua. La prima tipologia, che è anche quella con cui si è lavorato in questo progetto, permette una discreta precisione sull'angolo e quindi sulla posizione. La seconda invece permette una discreta precisione sulla velocità e quindi sull'accelerazione di rotazione. Sono controllati da impulsi inviati dal microcontrollore, come descritto in sezione 3.1.2. Il sistema servomotore include custodia, circuito stampato, motore, ingranaggi e rilevamento della posizione [9].

### 3.1.1 Dati

I motori servo presenti sul robot sono del modello Adept Micro Servo AD002, di cui verranno ora esposti i parametri. Questi motori sono totalmente compatibili con i più comuni motori servo MG90S [11].

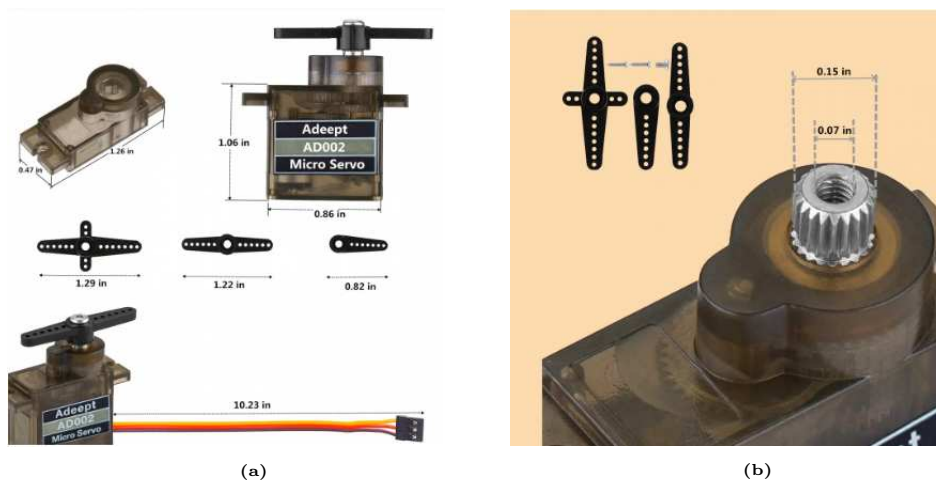


Figura 3.3: Dimensioni servo AD002

Tabella 3.2: Dati

Dato	Valore	Unità di misura
Coppia di stallo	2	kg·cm
Angolo massimo	$\pi$	rad
Tensione nominale	4.8	V
Range di temperatura	0 - 55	°C
Velocità nominale	$\frac{0.11}{60}$ (4.8V)	$\frac{sec}{degress}$

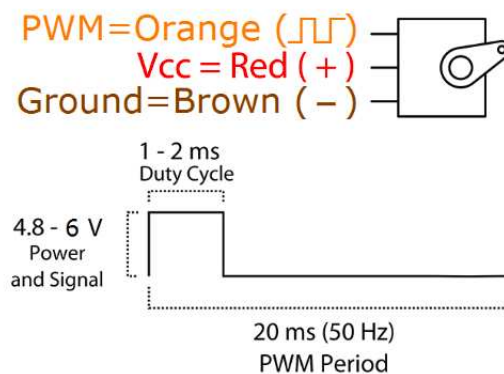


Figura 3.4: PWM dati

Tabella 3.3: filo

Colore filo	Funzione
Arancione	PWM (Segnale)
Rosso	Vcc (Polo positivo)
Marrone	Massa (Polo negativo)

Tabella 3.4: PWM

dato	valore	unità di misura
Tensione massima	4.8 - 6	V
Duty cycle	0.5-2.5	ms
Periodo PWM	20	ms

Altre caratteristiche sono gli ingranaggi del motore che sono in metallo e la compatibilità dei motori, che è con Arduino e Raspberry Pi.

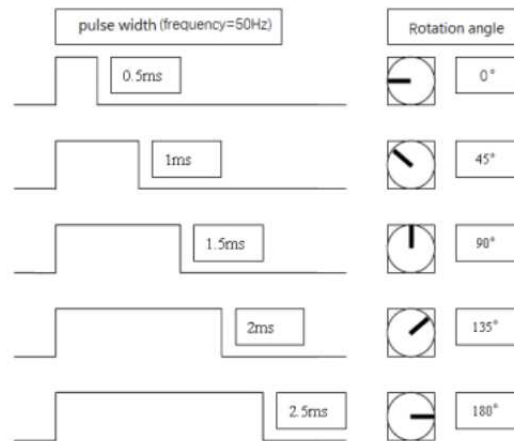
### 3.1.2 Principio di funzionamento

Il servomeccanismo è un sistema di controllo automatico che consente alle quantità controllate dall'output di seguire cambiamenti arbitrari nel target di input in modo continuo nel tempo. Deve quindi essere presente una struttura che permette il feedback.

Il servomeccanismo è fondamentalmente guidato da un sistema di Pulse Width Modulation (PWM).

La PWM è una strategia utilizzata per il controllo del segnale in uscita al circuito quando si sta utilizzando un'output digitale. Difatti, al contrario di un

caso analogico, un segnale digitale può avere solo due valori: alto o basso. Se si necessita di un valore intermedio sembrerebbe impossibile ottenerlo. Si usa quindi la tecnica del PWM, che consiste nel inviare un'onda quadra e, facendo cambiare la durata del duty cycle (ovvero il rapporto tra la durata del segnale alto e la durata totale del segnale), cambiare il valore medio del segnale. Si possono ottenere così output digitali di valore "intermedio" e si possono quindi controllare sistemi che richiedono un range di valori in output, come i servomotori. In base a questo valore il servomeccanismo si sposta fino all'angolo corrispondente. Si possono vedere alcune corrispondenze in figura 3.5.



**Figura 3.5:** Esempi segnale PWM

Il segnale PWM, inviato da Adept Arm Drive Board, viene quindi elaborato da un circuito integrato sul circuito stampato, al fine di calcolare il senso di rotazione del motore di azionamento, che viene quindi trasmesso attraverso un riduttore al braccio oscillante. Allo stesso tempo, il rilevatore di posizione restituisce un segnale di posizione per determinare se la posizione impostata è stata raggiunta o meno.

Il servomotore utilizza la retroazione negativa, ovvero è in grado di inviare impulsi corrispondenti alla posizione in cui si trova. Se l'impulso che torna al sistema non coincide con quello dato in input allora il servosistema mette autonomamente il motore in azione per tornare alla posizione corretta. In questo modo è possibile controllare con precisione la rotazione del motore [9].

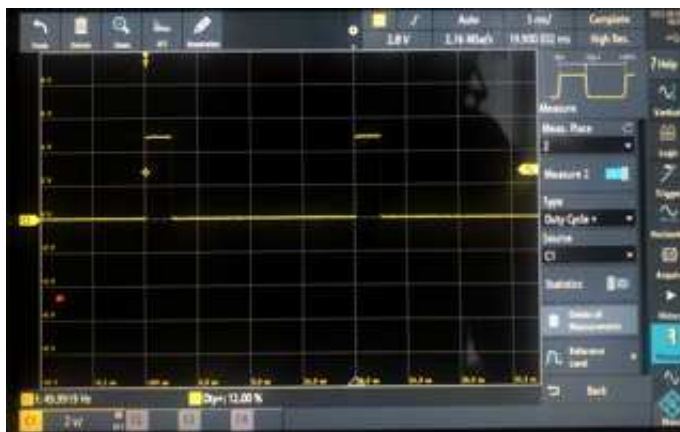
Purtroppo i dati forniti riguardo i valori della PWM erano incoerenti, si è così deciso di andare a studiare la situazione in maniera più diretta. Con un oscilloscopio si è osservato il segnale inviato dal sistema ai motori, corrispondente

agli angoli 0 e 180. Del segnale si è guardato il duty cycle, la durata di un periodo della PWM e la tensione a cui veniva passato il segnale.



**Figura 3.6:** Segnale inviato ai servo per assumere un angolo di 0°

Come si può vedere in figura 3.6 la durata del periodo della PWM corrisponde a quella data, 20 ms. La tensione operativa è di 4.4 V circa. Il duty cycle è di 2.72%, ovvero il segnale alto dura 0.544 ms.



**Figura 3.7:** Segnale inviato ai servo per assumere un angolo di 180°

Al massimo angolo possibile, come visibile in figura 3.7, il duty cycle è 12%, quindi il segnale alto ha una durata di 2,4 ms circa.

## 3.2 Scheda Adeept

Il componente principale del braccio robotico, come scritto dall'azienda stessa, è l'Adeapt Arm Drive Board. Citando direttamente il manuale (tradotto in italiano), sappiamo che: *“Simile alla scheda di sviluppo Arduino UNO, è una*

piattaforma di prototipazione elettronica open source di facile utilizzo, inclusa la parte hardware e la parte software (Arduino IDE). La scheda di sviluppo Adept Arm Drive Board è composta principalmente da un microcontrollore (Micro Controller Unit, MCU), un'interfaccia di input/output universale, ecc. Può essere interpretata come una scheda madre per microcomputer.” [9]

3.8.

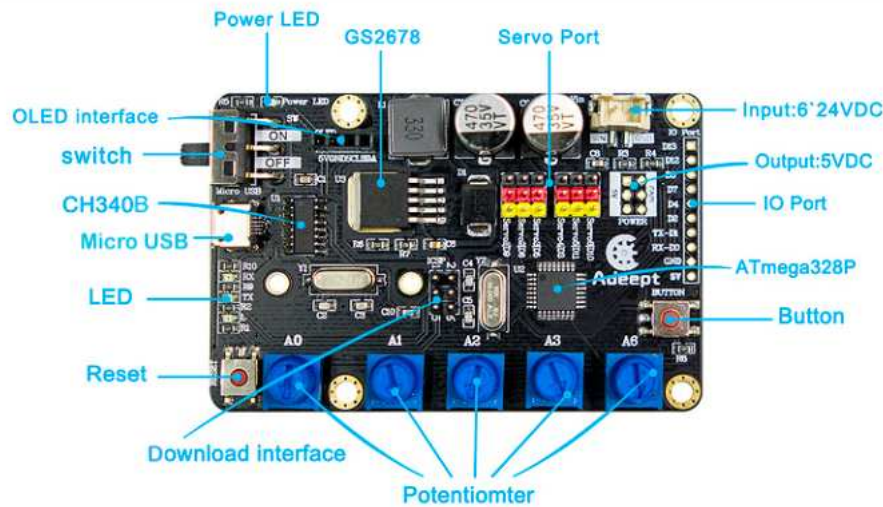


Figura 3.8: Adept Arm Drive Board

Verranno ora descritte tutte le parti elencate sulla figura 3.8.

#### LED:

Led controllabile dal microprocessore per fornire informazioni supplementari.

#### Micro USB:

Questa Micro USB viene utilizzata per collegare la scheda al computer, permettendo la comunicazione seriale, il caricamento del programma e il monitoraggio seriale tra la scheda di sviluppo Adept SmartHub e il computer. Può essere utilizzata anche come alimentazione a corrente continua a 5 V.

#### CH340B:

La famiglia di chip CH340 funge lo scopo di convertitori tra una porta USB ad una porta seriale (UART) o ad una porta stampante. Nella modalità UART, utilizzata nel progetto, CH340 provvede segnali MODEM standard, usati per estendere porte seriali dal computer o passare direttamente da un normale dispositivo seriale ad un bus USB [12].

#### Switch (interruttore):

Quando si utilizza  $V_{in}$  (6-24 V) come alimentatore esterno, questo interruttore è l'ON e OFF della scheda di sviluppo Adept SmartHub.

**OLED Interface:**

Interfaccia pin dello schermo OLED.

**Power Led:**

Il LED di alimentazione viene utilizzato per indicare lo stato di alimentazione del sistema. Se è acceso, indica che il sistema è acceso e pronto per funzionare; altrimenti che il sistema è spento.

**GS2678 :**

Il GS2678 è un convertitore buck (step-down) DC/DC a PWM a frequenza fissa a 350 KHz, in grado di pilotare un carico di 5 A con alta efficienza, bassa ondulazione ed eccellente line e load regulation. Richiedendo un numero minimo di componenti esterni, il regolatore è semplice da usare e include la compensazione della frequenza interna e un oscillatore a frequenza fissa [13].

**Servo:**

Interfaccia pin dei Servo.

**Input: 6-24 VDC:**

È l'interfaccia pin per l'alimentazione esterna. L'alimentazione esterna per la scheda di sviluppo Adept SmartHub richiesta è 6-24 V.

**Output:5 VDC:**

Output a 5 V a corrente continua.

**IO Port:**

Interfaccia pin Input Output.

**ATmega328P:**

Microcontrollore ad 8 bit [14].

**Button:**

Pulsante per vari utilizzi.

**Potentiometer:**

Sono presenti cinque potenziometri: A0, A1, A2, A3 e A6. Utilizzando l'apposito codice Arduino, fornito dall'azienda, è possibile utilizzare questi potenziometri per controllare il movimento del braccio robotico. Ogni potenziometro controlla un servomotore.

**Download interface:**

Interfaccia di programmazione del microcontrollore.

**Reset:**

Pulsante per il riavvio della scheda di sviluppo di Adept SmartHub.

# Capitolo 4

## Basi Teoriche

Al fine di comprendere il funzionamento del software è necessario presentare una parte di teoria di robotica e alcune tecniche di analisi della dinamica di un robot. Verrà poi spiegato come sono state ricavate le formule utilizzate nel codice.

### 4.1 Definizione e caratteristiche di un braccio robotico

Un braccio meccanico, anche detto manipolatore industriale, è una struttura meccanica formata da corpi (supposti rigidi), chiamati *link* o membri, e da articolazioni, dette *joints* o giunti, che assieme vanno a formare una catena cinematica. Un'estremità della serie è connessa ad una base d'appoggio, che può essere mobile o fissata, mentre l'altra è libera e a volte dotata di un sistema per l'interazione con il mondo, detta end-effector [8].

Un elemento caratterizzante della struttura di un robot sono i suoi giunti. Essi possono essere di varie tipologie, ma sono due quelle più note: prismatiche e rotazionali. Prismatiche significa che sono in grado di muovere i loro segmenti linearmente lungo i tre assi  $x$ ,  $y$  e  $z$ ; corrispondenti ai movimenti laterale, longitudinale e verticale. Le rotazionali invece sono in grado di ruotare i segmenti attorno uno o più assi [10]. In base alle articolazioni di cui un robot è formato esso è in grado di raggiungere uno specifico spazio d'azione. L'insieme dei punti di questo spazio viene definito spazio di lavoro e in base alla geometria di questo spazio il braccio viene inserito in una categoria. Distinguiamo tra attuatori:

- Cartesiani (tre giunti prismatici)
- Cilindrici (due giunti prismatici e uno rotoidale)

- Sferici (un giunto prismatico e due rotoidali)
- Selective Compliance Assembly Robot Arm (SCARA) (due giunti rotoidali e uno prismico)
- Antropomorfi (tre o più giunti rotoidali)

Il robot Adept è un braccio robotico con geometria antropomorfa.

La geometria antropomorfa è realizzata da 3 giunti di tipo rotazionale, dove l'asse di rotazione del primo è ortogonale agli assi di rotazione dei secondi due, che sono invece paralleli tra loro. Dalla somiglianza col braccio umano, la seconda articolazione è detta “spalla” e la terza è detta “gomito”. La struttura antropomorfa è la più agile tra le geometrie, ma perde la corrispondenza tra i giunti e lo spazio cartesiano, rendendo più complesso lo studio. Il suo spazio di lavoro è approssimativamente una sfera, visibile in figura 4.1, ed ha quindi un grande volume rispetto all'ingombro del robot stesso [8].

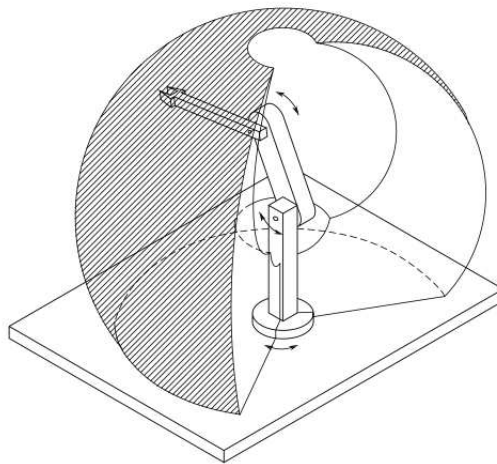


Figura 4.1: Spazio di lavoro di un robot antropomorfo, figura presa da [8]

## 4.2 Controllo di un braccio robotico

*«La Cinematica è la scienza che ha per oggetto lo studio del moto indipendente delle forze che lo producono. [...] Noi ci proponiamo di studiare le leggi del moto delle macchine dal punto di vista cinematico. Sotto questo aspetto la macchina può considerarsi come un complesso di corpi, combinati in guisa, che quando uno di essi vien messo in*

*movimento, tutti gli altri acquistano determinati movimenti allo scopo di ottenere un dato lavoro od altro effetto»* (Tessari, 1885)

[7].

### 4.2.1 Cinematica Diretta

La cinematica diretta è lo studio della posizione del braccio rispetto agli angoli assunti dai giunti. Con “posizione del braccio” si intende la posizione dell’utensile (end-effector) rispetto ad un sistema di coordinate fissate alla base del braccio. La tecnica più famosa per il calcolo della cinematica diretta è la procedura di Denavit-Hartenberg. Questa tecnica permette di ricavare una mappa della cinematica diretta, ovvero una serie di matrici di rototraslazione che moltiplicate tra di loro danno la posizione dell’end-effector rispetto alle coordinate base.

### 4.2.2 Cinematica Inversa

La cinematica inversa consiste nell’ottenere, data una posizione nello spazio dell’end-effector, gli angoli che devono assumere i vari motori perché la punta si trovi in quella esatta posizione. Purtroppo non esiste alcuna tecnica di tipo generale che applicata sistematicamente dia una soluzione, anzi si può addirittura ottenere che la soluzione non è unica o persino non esiste. Se non esistono soluzioni si dice che il punto si trova all’esterno dello spazio di lavoro. Le tecniche risolutive sono essenzialmente due [8]:

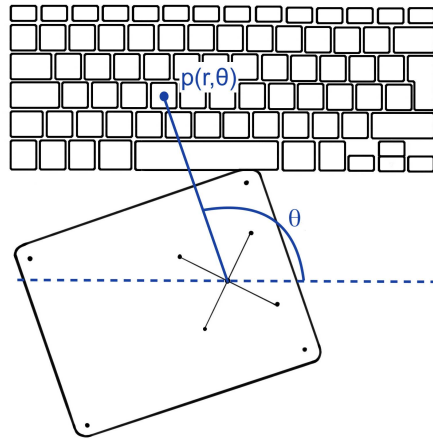
- una ad approccio *algebrico*. Ovvero il manipolare le equazioni cinematiche dirette fino ad ottenere delle equazioni invertibili.
- una ad approccio *geometrico*. Ovvero si basta sullo studio della struttura fisica del manipolatore.

Nel caso di questo progetto si è usato un approccio geometrico.

## 4.3 Controllo del braccio robotico ADA031-V4.0

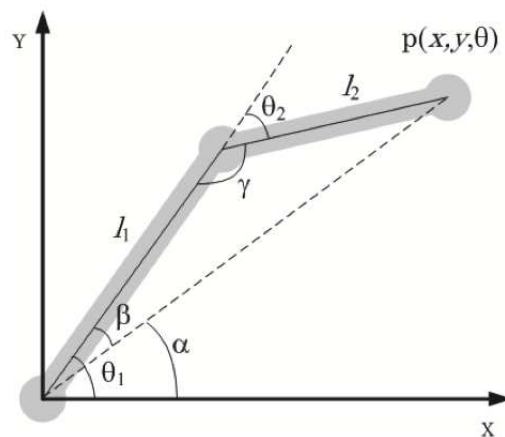
Per ottenere la mappatura degli angoli corrispondenti alle coordinate di ogni tasto, si è cercato prima di tutto di semplificare il più possibile l’analisi della cinematica inversa. Si è immediatamente osservato che il primo servomotore, quello posizionato sulla pedana rialzata, era studiabile indipendentemente dagli

altri due. Si è quindi prima considerato il piano su cui giace la tastiera e per ogni tasto si sono considerate le coordinate polari. L'angolo delle coordinate polari, preso rispetto ad un asse parallelo alla lunghezza della tastiera, corrisponde con l'angolo da associare al primo servo. Se ne può vedere un esempio in figura 4.2.



**Figura 4.2:** Esempio di angolo associato al primo servo per un tasto

Per i secondi due servo invece si è andato a considerare il piano, perpendicolare a quello sopra considerato, dove giacciono i secondi due assi del robot. Su questo piano si è andato a nominare gli angoli e le lunghezze di nostro interesse come visibile in figura 4.3.



**Figura 4.3:** Analisi geometrica dei secondi due assi del braccio, figura dal libro [15]

Con questo approccio geometrico è possibile usare il teorema del coseno. Si ottiene quindi che

$$(x^2 + y^2) = l_1^2 + l_2^2 - 2l_1l_2\cos(180 - \theta_2) \quad (4.1)$$

Osservando che  $\cos(180 - \theta_2) = -\cos(\theta_2)$  allora l'equazione (4.1) diventa

$$(x^2 + y^2) = l_1^2 + l_2^2 + 2l_1l_2\cos(\theta_2) \quad (4.2)$$

E risolvendo l'equazione per  $\theta_2$  si ottiene

$$\theta_2 = \arccos\left(\frac{x^2 + y^2 - l_1^2 - l_2^2}{2l_1l_2}\right) \quad (4.3)$$

Tornando a guardare la figura 4.3, vediamo che per il teorema dei seni vale

$$\frac{\sin(\beta)}{l_2} = \frac{\sin(\gamma)}{\sqrt{x^2 + y^2}} \quad (4.4)$$

$$\alpha = \arctan\left(\frac{y}{x}\right) \quad (4.5)$$

Osservando che  $\sin(\gamma) = \sin(180 - \theta_2) = \sin(\theta_2)$ , si può sostituire  $\sin(\gamma)$  con  $\sin(\theta_2)$  nell'equazione (4.4), ottenendo così

$$\beta = \arcsin\left(\frac{l_1 \sin(\theta_2)}{\sqrt{x^2 + y^2}}\right) \quad (4.6)$$

E infine, ricordando che  $\theta_1 = \beta + \alpha$ , si può ottenere  $\theta_1$  come

$$\theta_1 = \arcsin\left(\frac{l_1 \sin(\theta_2)}{\sqrt{x^2 + y^2}}\right) + \arctan\left(\frac{y}{x}\right) \quad (4.7)$$

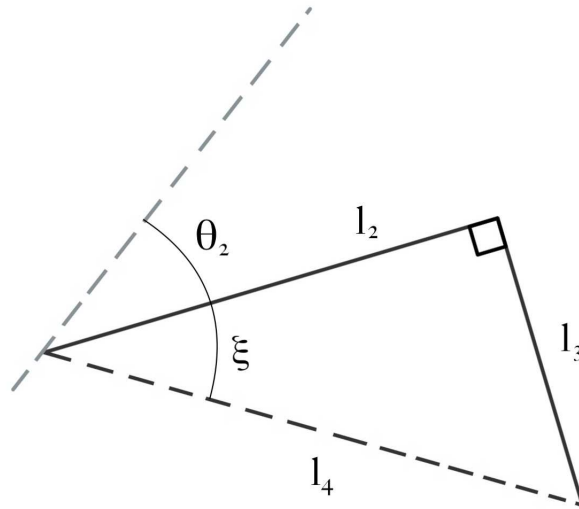
Con questo metodo, descritto nel libro Robot Arms [15], si sono riuscite ad ottenere le equazioni che permettono la cinematica inversa. Ma non si è tenuto conto dell'end-effector.

Per sistemare questo dettaglio si è ipotizzato che il puntatore sia esattamente a  $90^\circ$  rispetto l'asse  $l_2$  ed esattamente sulla punta dell'asse.

Se questo è vero si può considerare il triangolo formato dal link  $l_2$  e dall'end-effector. Presa l'ipotenusa del triangolo, in figura 4.4 chiamata  $l_4$ , essa può essere considerata come un fittizio terzo link. Utilizzando  $l_4$  al posto di  $l_2$  nelle equazioni precedenti, l'angolo ottenuto dall'equazione (4.3) sarà la somma degli angoli  $\theta_2$  e  $\xi$ .

La lunghezza di  $l_4$  per il teorema di Pitagora sarà

$$l_4 = \sqrt{l_2^2 + l_3^2} \quad (4.8)$$



**Figura 4.4:** Terzo asse e puntatore

E quindi, grazie alla trigonometria, si può ottenere  $\xi$ :

$$\xi = \arccos\left(\frac{l_2}{l_4}\right) \quad (4.9)$$

Utilizzando le equazioni (4.3) e (4.7) sugli assi  $l_1$  ed  $l_4$  otterremo gli angoli  $\theta_1$  e il fittizio  $\theta_2$ , dal quale si ricava il vero angolo togliendo lo  $\xi$  calcolato nell'equazione (4.9).

Si ricordi infine che  $l_1$  ed  $l_2$  sono stati misurati e sono visibili in tabella 3.2. L'ascissa e l'ordinata si ottengono rispettivamente come il raggio della coordinata polare del tasto e l'altezza dei tasti rispetto il secondo giunto. Si osservi che, lavorando con una tastiera planare, la  $y$  è una costante. Per la precisione è una costante negativa, visto che il piano d'appoggio della tastiera è inferiore a quello dove giace la spalla.

# Capitolo 5

## Codice a blocchi

Come si può vedere nella figura 5.1 il codice è stato sviluppato in due linguaggi separati, la prima parte di calcolo su Matlab e la seconda esecutiva su Arduino. Questa scelta è stata fatta considerando le caratteristiche di velocità computativa dei due ambienti di lavoro. Arduino, lavorando su un microcontrollore di minor potenza rispetto a Matlab, è più lento e ha una memoria molto più limitata. Il codice Matlab viene infatti eseguito una sola volta su un elaboratore, mentre è il codice Arduino che viene caricato sulla scheda elettronica del braccio robotico, su cui continua ad essere eseguito in loop fintanto che il robot è alimentato.

Sul codice `keyscoordinates.m` avviene l'effettivo calcolo degli angoli corrispondenti a ciascun servomotore, che vengono poi stampati a video tramite la funzione `printAngles()`. Questa fornisce gli angoli in un formato facile da trasferire al codice `Robot.ino`, nello specifico alla funzione `writeLetter()`.

La prima azione fatta dal codice è una mappatura cartesiana dei tasti, in relazione al piano su cui giacciono. Bisogna quindi specificare che è stata fatta in corrispondenza di un set di assi,  $x$  e  $y$ , paralleli rispettivamente alla lunghezza e alla larghezza della tastiera, con origine nel centro della base circolare del braccio.

Bisogna inoltre specificare che la rotazione della tastiera ha lo scopo di far corrispondere la posizione assunta dal primo motore all'angolo zero con l'asse delle ascisse. Il come si è scelto dove posizionare esattamente il robot e il calcolo della rotazione della base (visibile nelle figure 2.1 e 4.2) sono spiegati più approfonditamente nel Capitolo 6.

I blocchi verranno spiegati più specificatamente nelle prossime due sezioni.

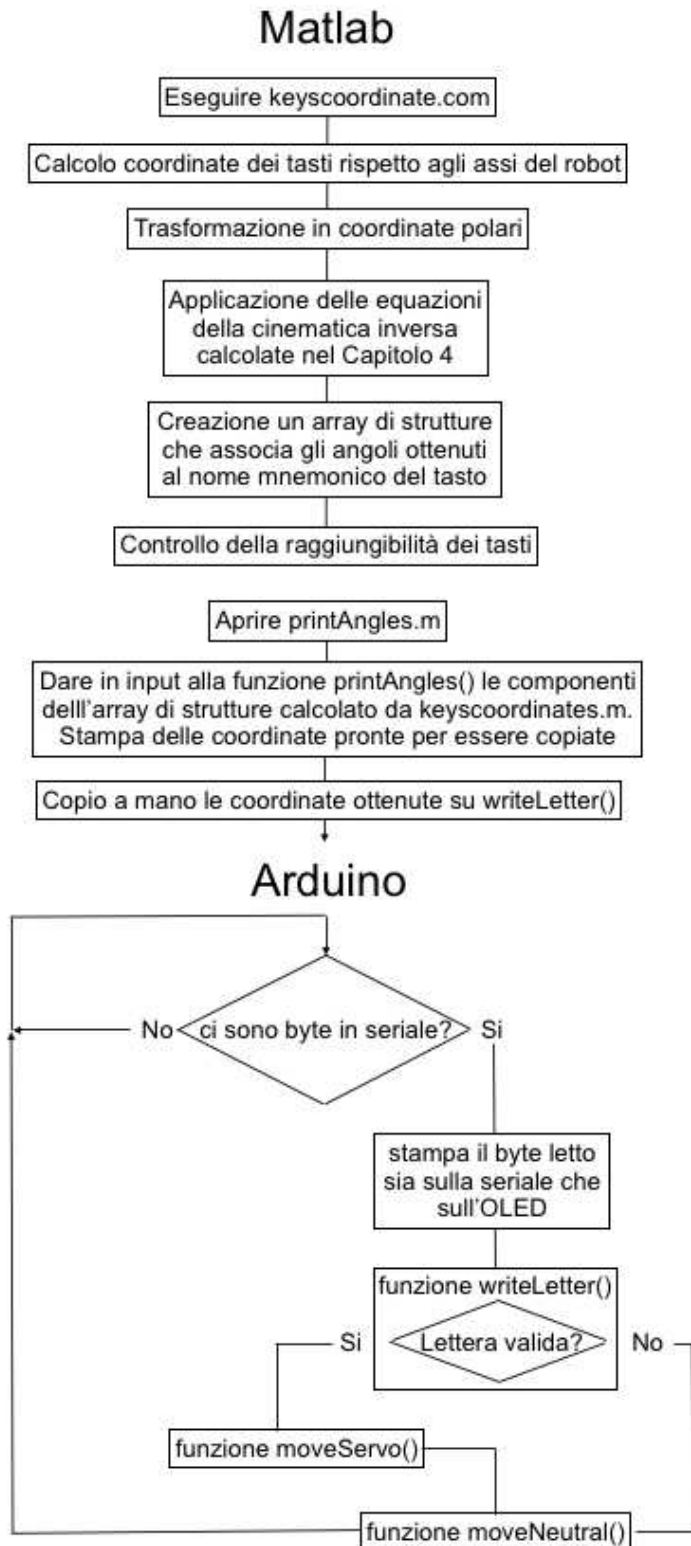


Figura 5.1: Schema a blocchi del codice

## 5.1 Matlab

L'obiettivo di questa parte di codice è ottenere l'esatto valore degli angoli associati ad ogni tasto, stamparli in un formato comodo per il trasferimento al codice Arduino e individuare se sono presenti tasti non raggiungibili dal robottino sulla tastiera. Il primo obiettivo è il più complesso, per raggiungerlo i passi sono molteplici, principalmente divisi in: fare una mappatura cartesiana dei tasti, trasformare la mappatura da cartesiana a polare, e applicare le formule trovate nel Capitolo 4.

### 5.1.1 Mappatura cartesiana dei tasti

```

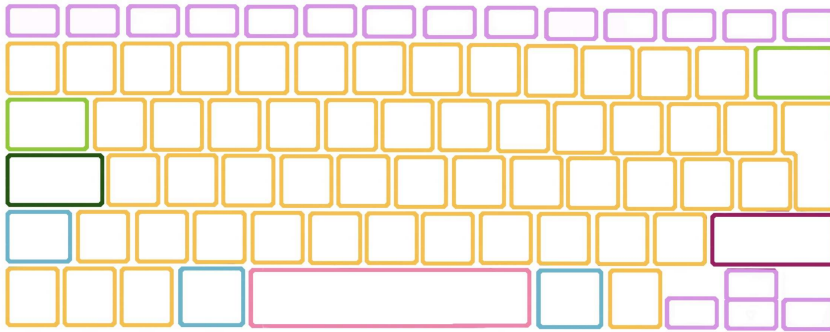
1 %keys[riga,ennesimo tasto della riga, 1=x 2=y]
2 cartesian = zeros(6,14,2);
3
4 %dimensioni dei 7 tipi di tasti lunghezzaXaltezza 1: prima riga e
   frecce; 2: lettere e numeri; 3: tab; 4: maiusc; 5:cmd; 6:
   shift lungo; 7: spazio
5 dimkeys_larghezza = [16 ; 15.5 ; 25 ; 30 ; 20 ; 39 ; 89];
6 dimkeys_lunghezza = [9; 15.5]; %prima riga; righe dalla due alla
   5 (la sesta, che ha un altro valore,   trattata separatamente
   )
7 dimSpace = 3.8;

```

**Listing 5.1:** definizione struttura e dimensioni tasti

Per prima cosa sono state prese le misure di tutti i tasti della tastiera. Essi si presentano in 5 diverse dimensioni di larghezza, come si può vedere nello schema 5.2, mentre solo 3 in altezza: la prima riga, l'ultima e il gruppo di quelle in mezzo.

Individuate le tipologie di tasto, per fare l'effettivo calcolo serviva una struttura di supporto. Si è creata una matrice tridimensionale  $6 \times 14 \times 2$  rappresentante la tastiera. Come in una scacchiera, i primi due indici fanno da coordinate per la posizione del tasto, partendo a contare dal più in alto a sinistra. Il terzo indice serve per indicare se ci si riferisce alla prima coordinata (l'ascissa) o la seconda (l'ordinata). Per esempio i valori associati carattere "e" saranno quelli in posizione  $e(x)=(3,4,1)$  ed  $e(y)=(3,4,2)$ , in quanto è il quarto carattere della terza riga. Nelle coordinate a cui non corrispondeva nessun tasto si è dato il valore Not a Number (NaN). Per esempio la riga 6 ha solo 11 tasti, quindi i valori della matrice  $(6,12,*) = (6,13,*) = (6,14,*)$  contengono il valore "NaN".

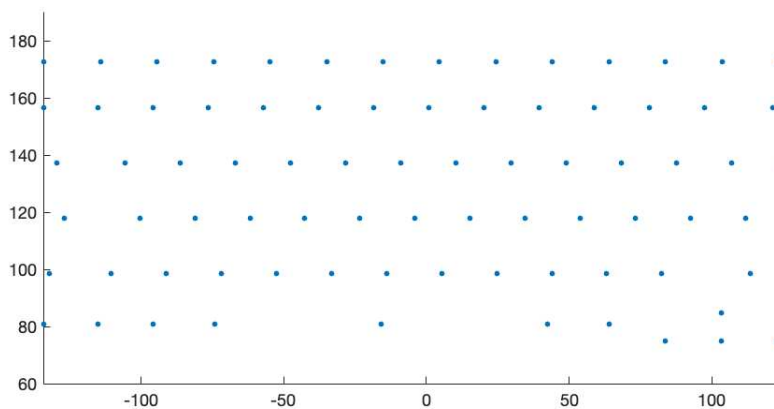


**Figura 5.2:** Tasti colorati per larghezza

Il passo successivo è l'effettivo calcolo delle ascisse e delle ordinate dei centri dei tasti. È stato trattato dove possibile con dei cicli automatizzati o altrimenti con dei calcoli specifici per le sezioni più complesse. Le ordinate sono risultate più automatizzabili delle ascisse, si è prima misurata l'altezza della prima riga, ovvero l'ordinata massima  $y_{max}$ , e si è poi andato a diminuire il valore ad ogni ciclo della quantità necessaria ad arrivare al centro del tasto successivo.

Allo stesso modo si è studiata l'ascissa, partendo a calcolare dall'estremo sinistro della tastiera e andando ad aggiungere allo stesso modo. Scegliendo questa partenza è stato poi necessario imporre un offset a tutte le ascisse, per spostare lo zero sull'asse  $x$  inizialmente definito.

È possibile vedere le coordinate ottenute nel grafico 5.3.



**Figura 5.3:** Grafico delle coordinate cartesiane dei tasti

## 5.1.2 Trasformazione da coordinate cartesiane a coordinate polari

```

1 %% trasformazione in coordinate polari
2
3 %polar = [riga tasto, colonna tasto, 1=raggio 2=theta in gradi]
4 polar = zeros(6,14,2);
5
6 %da trigonometria so che raggio      sqrt(x^2 + y^2)
7 x_squared = cartesian(:, :, 1).^2;
8 y_squared = cartesian(:, :, 2).^2;
9 for j = 1:14
10     for i = 1:6
11         if(cartesian(i,j,1) == -150)
12             polar(i,j,1) = -1;
13         else
14             polar(i,j,1) = sqrt(x_squared(i,j)+y_squared(i,j));
15         end
16     end
17 end
18
19 %da trigonometria so che angolo      90 se x=0; arctan(y/x) se x&y
    >0;
20 %arctan(y/x)+pi se x<0 (atan2d fa gi    la suddivisione)
21 angoloOffset = 8.4;
22 for j = 1:14
23     for i = 1:6
24         polar(i,j,2) = atan2d(cartesian(i,j,2), cartesian(i,j,1)) -
    angoloOffset;
25     end
26 end

```

**Listing 5.2:** trasformazione coordinate cartesiane in polari

Per il calcolo delle coordinate polari si sono applicate le formule per la trasformazione da coordinate cartesiane  $(x, y)$  a polari  $(r, \theta)$ .

Il raggio, che si ricordi verrà poi usato come coordinata  $x$  nelle formule della cinematica inversa, è ottenuto come:

$$r = \sqrt{x^2 + y^2} \quad (5.1)$$

Per quanto riguarda l'angolo si è sfruttata la funzione `atan2d`, che tiene già conto delle varie casistiche dell'arcotangente nei quattro quadranti. Ad ogni

angolo è stato infine tolto un offset, dettaglio che verrà meglio spiegato nel Capitolo 6.

Il risultato è stato salvato nella matrice `polar`.

### 5.1.3 Calcolo degli angoli tramite la Cinematica Inversa

```

1 %lunghezza link tra giunto1 e giunto2
2 s1 = 65;
3 %lunghezza link finale
4 t = 147;
5 %lunghezza penna
6 l = 55;
7 %lunghezza e angolo rispetto a t del vettore t+l
8 s2 = sqrt(t^2 + l^2);
9 theta = atand(l/t);
10
11 %altezza asse da terra
12 h = -85;
13
14 %angoli finali servos: angles = [servo1, servo2, servo3]
15 angles = zeros(6,14,3);
16 alpha = zeros(6,14);
17 beta = zeros(6,14);
18 frac = zeros(6,14);
19 sinn = zeros(6,14);
20 for i = 1:6
21     for j = 1:14
22         angles(i,j,1) = polar(i,j,2);
23         angles(i,j,3) = acosd((polar(i,j,1)^2+ h^2 -s1^2-s2^2)
24             /(2*s1*s2));
25         sinn(i,j) = sind(angles(i,j,3));
26         frac(i,j) = (s2*sinn(i,j))/(sqrt(polar(i,j,1)^2+ h^2));
27         beta(i,j) = asind(frac(i,j));
28         alpha(i,j) = atand (h/polar(i,j,1));
29         angles(i,j,2) = abs(beta(i,j)) - abs(alpha(i,j));
30     end
31 end
32 for i = 1:6
33     for j = 1:14
34         angles(i,j,3) = angles(i,j,3)- theta;
35     end
36 end

```

Listing 5.3: applicazione delle formule della cinematica inversa

Qui sono state applicate le formule dimostrate nel Capitolo 4. I valori ottenuti sono salvati nella matrice  $6 \times 14 \times 3$  `angles`.

#### 5.1.4 Controllo della raggiungibilità dei tasti

```

1 for i = 1:6
2     for j = 1:14
3         if angles(i,j,2) < 0
4             fprintf('l''angolo 2: %d %d risulta negativo \n',i,j)
5         ;
6         end
7         if imag(angles(i,j,2))~=0
8             fprintf('l''angolo 2: %d %d risulta complesso \n',i,j
9         );
10        end
11        if angles(i,j,3) < 0
12            fprintf('l''angolo 3: %d %d risulta negativo \n',i,j)
13        ;
14        end
15        if imag(angles(i,j,3))~=0
16            fprintf('l''angolo 3: %d %d risulta complesso \n',i,j
17        );
18        end
19    end
20 end

```

**Listing 5.4:** controllo dei tasti non raggiungibili dal robot

Alcuni tasti non sono fisicamente raggiungibili dal braccio, a causa delle sue limitazioni. Si è quindi creata questa funzione per osservare, anche in base al puntatore usato, quando gli angoli calcolati dalle equazioni della sezione precedente risultano complessi o negativi. Questa funzione è necessaria in quanto la funzione `printAngles()` stampa gli angoli complessi come reali e potrebbe essere causa di confusione. Nel caso specifico di questo progetto il ciclo da in output:

```

l'angolo 3: 1 1 risulta negativo
l'angolo 3: 1 1 risulta complesso
l'angolo 2: 1 2 risulta negativo
l'angolo 3: 1 2 risulta negativo
l'angolo 3: 1 2 risulta complesso
l'angolo 2: 1 13 risulta negativo
l'angolo 2: 1 14 risulta negativo
l'angolo 3: 1 14 risulta negativo

```

```

l'angolo 3: 1 14 risulta complesso
l'angolo 2: 2 1 risulta negativo
l'angolo 3: 2 1 risulta negativo
l'angolo 3: 2 1 risulta complesso
l'angolo 2: 2 14 risulta negativo

```

Ciò significa che i tasti “esc”, “F1”, “F12”, “On/Off” e “\” non sono fisicamente raggiungibili in questo progetto.

### 5.1.5 Funzione printAngles()

```

1 function printAngles(x)
2     fprintf('\n');
3     for k = 1:3
4         kk=k-1;
5         fprintf('finalAngle [%d]= %4.2f; \n', kk, x(k));
6     end
7     fprintf('\n');
8 end

```

Listing 5.5: funzione printAngles

Questa funzione permette di ottenere facilmente i valori degli angoli corrispondenti ad un tasto, senza dover contare quali siano le coordinate corrispondenti sulla matrice `angles`. È stata prima creata una struttura dati che associa un valore mnemonico ad ogni tris di angoli (visibile nel codice `keyscoordinates.m` in appendice). Dato in input il valore mnemonico alla funzione essa ritorna gli angoli come una stringa. Per esempio, dato in input alla funzione `alphabet.e`, l'output risultante è:

```

finalAngle[0]= 107.59;
finalAngle[1]= 37.88;
finalAngle[2]= 67.18;

```

## 5.2 Arduino

L'obiettivo di questa parte di codice è leggere i caratteri che arrivano sulla seriale, associarli alle corrette coordinate e muovere il braccio di conseguenza. Questo è ottenuto grazie alle funzioni `writeLetter()`, `moveNeutral()` e `moveServo()`, che sono state scritte appositamente per questo programma e verranno esposte nel dettaglio nei prossimi paragrafi.

## 5.2.1 Ciclo loop

Nel ciclo loop si può leggere

```
1  if (Serial.available() > 0) {
2      byte ch = Serial.read(); //legge il byte in entrata
3      display.fillScreen(BLACK); //metto l'OLED tutto nero
4      Serial.print("I received: ");
5      Serial.println((char)ch); //alla fine delle lettere legge
   sempre anche un "Line feed" (ascii 10)
6      display.setTextSize(5);
7      display.print((char)ch);
8      //Inizia a mostrare
9      display.display();
10     //movimento del robot
11     writeLetter(ch);
12     delay(1000);
13     moveNeutral();
14     delay(1000);
15 }
```

**Listing 5.6:** Loop codice Arduino "Robot\_"

Questa condizione è il cuore del ciclo loop. Attende che sia disponibile un valore dalla seriale e, appena se ne presenta uno, lo salva nella variabile `ch`. Una volta ricevuto e salvato il carattere, esso viene stampato sia in seriale che sullo schermo OLED. La riga 4 ha lo scopo di aggiornare lo schermo OLED, in modo da non sovrapporre le lettere precedenti con quelle nuove.

Vengono poi utilizzate le funzioni `writeLetter()` e, dopo 1000 ms, `moveNeutral()`. La prima, in base al carattere in input, associa i corretti angoli obiettivo ai servo e, appoggiandosi alla funzione `moveServo()`, porta il robot a premere il tasto. La seconda invece sposta il robot in una posizione neutra. In questo modo ad ogni ciclo l'ordine delle azioni è: controllo della presenza o meno di byte in input da seriale, salvataggio dell'input come `byte ch`, azionamento del robot che va a premere il tasto corrispondente a `ch` e infine riposizionamento del robot ad una posizione neutra, in attesa del carattere successivo da scrivere.

## 5.2.2 Funzione `writeLetter()`

```
1 void writeLetter(char ch){
2
3     //lettere
4 }
```

```

5  if (ch == 'a'){
6      finalAngle[0]= 122.04;
7      finalAngle[1]= 33.20;
8      finalAngle[2]= 62.89;
9  }
10 else if (ch == 'b'){
11     finalAngle[0]= 89.66;
12     finalAngle[1]= 38.40;
13     finalAngle[2]= 104.57;
14 }

    [...]

1  else if (ch == '.') {
2      finalAngle[0]= 48.91;
3      finalAngle[1]= 52.41;
4      finalAngle[2]= 92.33;
5  }
6  else if (ch == '-') {
7      finalAngle[0]= 41.65;
8      finalAngle[1]= 46.92;
9      finalAngle[2]= 83.98;
10 }
11 else{ //nel caso sia stato premuto un tasto non adatto o per il
12     valore "newLine a fine frase" metto in posizione neutrale
13     finalAngle[0]= 90;
14     finalAngle[1]= 90;
15     finalAngle[2]= 45;
16     Serial.print("il tasto ");
17     Serial.print((char)ch);
18     Serial.println(" non risulta raggiungibile");
19 }
20 int i = 0;
21 moveServo(i, finalAngle[i]);
22 i = 2;
23 moveServo(i, finalAngle[i]);
24 i = 1;
25 moveServo(i, finalAngle[i]);
26 }

```

**Listing 5.7:** codice funzione writeLetter() Arduino "Robot."

Qui in base al `byte ch` vengono selezionati gli angoli corretti, calcolati precedentemente su Matlab. Non c'è una struttura di comunicazione diretta tra i codici nei due linguaggi, quindi l'inserimento dei valori avviene manualmente. Creare

un canale di comunicazione diretta potrebbe essere un interessante miglioramento futuro, come evidenziato nel capitolo Capitolo 7.

Se il carattere non è raggiungibile perché viola uno degli assunti, allora il codice entra nell'`else` a riga 11. Questo stampa in seriale l'avviso *"il tasto -- non risulta raggiungibile"* e seleziona gli angoli per la posizione neutrale.

Infine il codice utilizza la funzione `moveServo()` per l'effettivo movimento all'angolo desiderato dei servo. Si osservi che i motori non vengono azionati in ordine crescente, ma il terzo (il gomito) viene mosso prima del secondo (la spalla). La sequenza di attivazione dei servomotori ha un'ordine preciso per evitare che l'end-effector vada a colpire le superfici esterne al target interessato. Difatti la traiettoria che il puntatore percorre per passare dalla posizione di riposo a quella finale dipende dall'ordine in cui vengono azionati i servo, vista l'impossibilità di muoverli tutti contemporaneamente. Si è empiricamente dimostrato che, azionando prima il gomito della spalla, il rischio che la traiettoria di spostamento vada a colpire la tastiera, o comunque luoghi indesiderati, diventa nullo.

### 5.2.3 Funzione `moveServo()`

```
1 void moveServo(int num, double finalAngle){
2   int offet_degrees = 4;
3   boolean done = false;
4   while(!done){
5     if (angle[num] < finalAngle){
6       angle[num]=angle[num]+offet_degrees;
7       if (angle[num] > posMax){ //if di controllo che non si esca
8         dai bound inizialeenti posti
9         angle[num] = posMax;
10        done = true;
11      }
12      else if(angle[num] >= finalAngle){ //sono arrivata alla
13      fine?
14        angle[num] = finalAngle;
15        done = true;
16      }
17      servo[num].write(angle[num]);
18    }
19    else if (angle[num] > finalAngle){
20      angle[num]=angle[num]-offet_degrees;
21      if (angle[num] < posMin){ //if di controllo che non si esca
22      dai bound inizialeenti posti
23        angle[num] = posMin;
```

```

21     done=true;
22   }
23   else if(angle[num] <= finalAngle){ //sono arrivata alla
fine?
24     angle[num] = finalAngle;
25     done = true;
26   }
27   servo[num].write(angle[num]);
28 }
29 else{
30   done = true;
31 }
32 delay(70);
33 }
34 }

```

**Listing 5.8:** codice funzione moveServo() Arduino "Robot\_"

Questa funzione ha l'unico scopo di muovere in maniera più fluida i motori. Esiste già una funzione, parte della libreria Servo, che muove il servo alla posizione finale. Si tratta della funzione `write()`. In un servo standard essa fa ruotare il servo fino alla posizione angolare voluta. In un servo a rotazione continua invece essa setta la velocità di rotazione del motore (0 indica che ruota a velocità massima in una direzione, 180 che gira a velocità massima nell'altra direzione, 90 che è fermo). In questo progetto ricordiamo che si usano servo standard. La funzione `write()` però porta a degli spostamenti molto bruschi e rischia di rovinare gli stessi servo. Si è così sviluppata questa funzione `moveServo()`.

La funzione `moveServo()` richiede in input un `int num`, che è il servo che si desidera muovere e un `double finalAngle`, che è l'angolo a cui si desidera portare il servo.

Questa funzione per prima cosa, grazie ad una serie di condizioni, individua se l'angolo a cui si trova attualmente il servo è minore, maggiore o corrisponde all'angolo obiettivo. Una volta individuata la casistica la struttura è la stessa ma simmetrica rispetto ai segni. Si modifica di 4 gradi l'angolo attuale e, prima di muovere effettivamente il motore, si va ad osservare dove ha portato questa modifica. Se l'angolo nuovo è maggiore o uguale all'angolo obiettivo allora `done` viene impostato su `true`, e il servo va all'angolo obiettivo con uno spostamento compreso tra gli 0 e i 4 gradi. Altrimenti il servomotore fa una rotazione di 4 gradi e il loop ricomincia aumentando di altri 4 gradi.

Le condizioni `if angle[num] > posMax` e `if angle[num] < posMin` servo-

no in caso ci siano degli angoli massimi oltre i quali non si vuole che i servo vadano. È una caratteristica utile nel caso ci siano impedimenti fisici attorno alla tastiera come un soffitto da non colpire per esempio. In questo specifico progetto non c'era necessità quindi sono stati settati come `posMin = 0` e `posMax = 180`.

Infine si attendono 70 ms per rendere il movimento più lento e quindi meno oneroso sui motori.

#### 5.2.4 Funzione `moveNeutral()`

```
1 void moveNeutral(){ //angolo1 = 90, angolo2 = 45, angolo0 = non
    cambiato
2 //secondo servo
3 moveServo(1,90);
4 delay(100);
5 //primo servo
6 moveServo(2,45);
7 }
```

**Listing 5.9:** codice funzione `moveNeutral()` Arduino “Robot\_”

L'ultima funzione che ho creato è stata `moveNeutral()`, che ha l'obiettivo di riportare il braccio ad una posizione “neutrale” tra una lettera e l'altra. Il passare sempre per una posizione di riposo tra una lettera e l'altra evita molte casistiche di scontro tra il puntatore e la tastiera nel movimento, come il caso del muovere per primo il primo servo, dove si va a trascinare l'end-effector sulla tastiera. Questa funzione si basa su `moveServo()` e portando gli assi sempre alla stessa posizione non richiede nessun parametro in entrata.



# Capitolo 6

## Verifica funzionamento

Questo capitolo è dedicato alle calibrazioni fatte prima di scrivere il codice per il suo corretto funzionamento ed a tutti gli aggiustamenti applicati durante la fase di test per migliorarne la precisione.

Per fare queste misurazioni è stata inizialmente preparata una copia planare della tastiera dell'elaboratore "MacBook Air (13 pollici, 2017)", tastiera su cui sono stati fatti tutti i test. Questa copia ha permesso di muovere il robot senza il rischio di danno e di poter modificare il codice durante i test, vista l'impossibilità di usare la tastiera reale mentre il robot vi è sopra.

La posizione cartesiana del braccio rispetto alla tastiera è stata scelta come prima cosa. Il braccio è stato collocato con l'obiettivo di permettere all'end-effector di raggiungere più tasti possibile, raggiungendo il maggior range d'azione disponibile. La rotazione della base è stata calcolata solo in seguito.

Inizialmente, dopo il montaggio del robot, si sono fatte delle prove di funzionamento della struttura e, al momento dei test sui motori, si è notato che la posizione presa all'angolo  $0^\circ$  non era quella desiderata per nessuno dei tre. Nel caso del gomito e della spalla si è deciso di risolvere il problema meccanicamente. Si è data istruzione al servomotore di posizionarsi all'angolo  $0$  e si è staccato il corrispettivo asse che è poi stato riattaccato nella direzione desiderata. Questo spostamento meccanico implica un posizionamento non perfettamente corretto, possibile motivo di imprecisioni nella posizione finale. Il primo servo era invece montato in maniera più complessa, ragion per cui si è scelto di ruotare la base per sopperire alla differenza piuttosto che smontare la struttura.

Al momento dei test è sorto che la rotazione scelta per la base non era perfetta. Un offset di errore sull'angolo del primo servo era ancora presente. Piuttosto di fare lunghe modifiche del codice si è preferito fare un aggiustamento all'angolo

togliendo, come visibile nella sezione 5.1.2 del Capitolo 5, l'errore a tutti gli angoli ottenuti dal primo servo.

Alla verifica del funzionamento del codice è stato osservato quanto la lunghezza degli assi fosse una variabile impattante nella precisione dell'end-effector. Ad una variazione di pochi millimetri dei dati inseriti la posizione finale era sensibilmente cambiata. Non erano a disposizione strumenti di misura di precisione, quindi l'errore di misura di circa 1 mm è causa di possibili imprecisioni. Le misure finali sono visibili nella tabella 3.1 del Capitolo 3. È sempre questo il motivo per cui, alla creazione del puntatore si è deciso di farlo di lunghezza ridotta, per evitare che possibili imprecisioni nella perpendicolarità tra esso e l'asse 3 venissero aumentate proporzionalmente alla lunghezza della penna.

Alcuni ultimi perfezionamenti al codice, svolti durante i test di funzionamento, sono stati: il numero di gradi di variazione nella funzione `moveServo()`, e quindi la velocità di spostamento del braccio; il posizionamento delle scritte sullo schermo OLED; si è persino scoperto un limite del codice, ovvero che i tasti “à”, “è”, “ì”, “ò” ed “ù” non sono raggiungibili, argomento trattato meglio nel capitolo Capitolo 7.

# Capitolo 7

## Miglioramenti futuri

Le possibili migliorie ed espansioni di questa tesi sono molteplici. Possono essere racchiuse in tre categorie: potenziamento dell'hardware, espansione del software, aggiunta di sistemi esterni.

**Hardware** Dotato di un hardware di maggiore qualità molte delle limitazioni del progetto sarebbero superate. Allungando gli assi il volume dello spazio di lavoro aumenterebbe e si potrebbe raggiungere l'intera tastiera. Utilizzando dei motori più resistenti si potrebbe tenere attivo il robot per lunghi periodi, senza temere il surriscaldamento o danneggiamento degli stessi, e insieme ottenere un movimento più fluido, elegante, preciso e silenzioso. Disponendo invece di un dispositivo a più bracci, o comunque di un sistema robotico più avanzato, si potrebbe risolvere la problematica dell'uso di combinazioni di tasti.

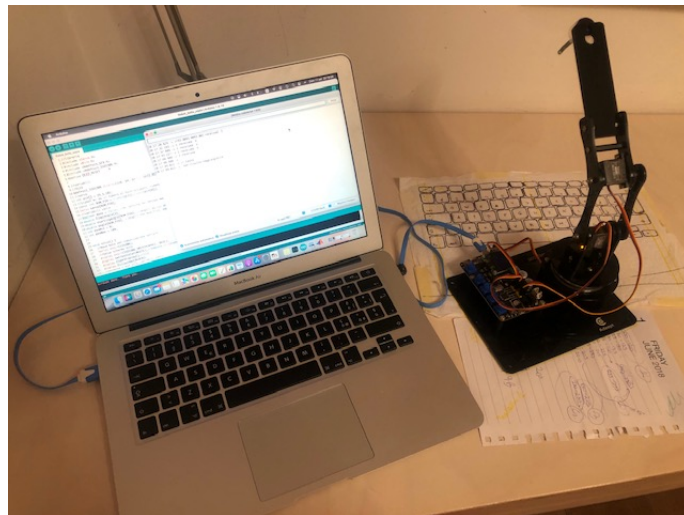
**Software** Dal punto di vista software una prima miglioria dovrebbe essere un metodo per il trasferimento dati tra i codici, in quanto l'inserimento manuale degli angoli nel codice esecutivo è un'operazione tediosa. Questo trasferimento d'informazioni potrebbe essere risolto attraverso il controllo di Arduino direttamente tramite Matlab. Sarebbe interessante risolvere la questione delle lettere accentate, rendendo completo l'uso della tastiera. Difatti i tasti "à", "è", "ì", "ò" ed "ù" non sono contenuti nel codice ASCII standard quindi, al contrario del resto dei tasti che sono rappresentati da 1 byte, questi sono indicati da 2. Di conseguenza non vengono letti correttamente dal codice e non possono essere usati. Questo è un dettaglio risolvibile scrivendo la vocale seguita da un apostrofo, ma si tratta sicuramente di un possibile miglioramento futuro. Infine un'implementazione desiderabile sarebbe un'interfaccia orientata al cliente, su cui esso possa inserire

l'input, al posto dell'attuale uso del monitor seriale di Arduino. Basandosi sulla stessa idea si potrebbe utilizzare al riguardo anche lo schermo OLED, rendendo l'uso più coinvolgente per l'utente.

**Sistemi Esterni** Non è solo perfezionando ciò che è già presente che si può migliorare il progetto. L'aggiunta di sensori potrebbe essere una componente in grado di dare una svolta alla precisione del braccio: sensori di pressione per evitare il rischio che il tasto venga premuto troppo e quindi rovinato; telecamere per migliorare, attraverso programmi per la *computer vision*, la precisione nel centrare il tasto. La presenza di telecamere abbatterebbe anche la barriera del doversi limitare ad una tastiera singola e del dover essere saldamente posto in una precisa posizione. Ovviamente il codice è già attualmente estendibile ad altre tastiere, ma la parte di calibrazione cartesiana dei tasti va completamente ricalcolata. Anche l'annessione di un modulo bluetooth potrebbe rivelarsi utile. Il robot attualmente necessita di essere costantemente connesso con cavo al compilatore da dove arriva la sorgente input, ma con un modulo bluetooth sulla scheda questo limite si potrebbe superare. Il robot necessita comunque di un'alimentazione di qualche tipologia, ma si può risolvere connettendo delle batterie all'interfaccia pin per l'alimentazione esterna della scheda.

# Capitolo 8

## Conclusioni



**Figura 8.1:** Foto del sistema completo per la funzione del robot

Il progetto tratta un braccio robotico a 3 assi, programmato al fine di battere a tastiera una frase ricevuta in input. Per ottenere software funzionante le fasi di apprendimento sono state diverse.

Prima è servito uno studio approfondito riguardo l'hardware a disposizione, per capire cosa fosse fisicamente possibile e come fosse controllabile il robot. Nel Capitolo 3 sono esposti i risultati di questa ricerca: prima le misure fisiche del robot, poi le caratteristiche ed il funzionamento dei motori, per finire con la descrizione della scheda elettronica.

Nel frattempo è stata affrontata la ricerca riguardo l'aspetto teorico del movimento di un braccio robotico. Si è andato a trovare la terminologia associata ai bracci robotici, le loro caratteristiche e classificazioni. Si è andata a studiare la

cinematica diretta e a cercare quella inversa, la seconda necessaria allo sviluppo del progetto e le cui equazioni sono esposte al Capitolo 4.

Queste conoscenze hanno portato allo sviluppo software finale. Sviluppato in parte su Matlab e in parte su Arduino, esso copre il processo dal calcolo delle coordinate dei tasti al movimento dei motori. Precedentemente all'accensione del braccio, un codice calcola il valore degli angoli a cui ciascun motore servo deve trovarsi, affinché il braccio prema il tasto. Dopo l'accensione, una stringa arriva da seriale sulla scheda Adept Arm Drive Board, dove sul microcontrollore è stato precedentemente caricato il programma `Robot_.ino`, e viene processata byte per byte. Ogni byte corrisponde ad una lettera, che viene premuta dal braccio, se raggiungibile. Su Matlab è avvenuta la parte di calcolo per gli angoli, mentre sul codice Arduino si è andati a fare il controllo del movimento del braccio. Il codice è spiegato nelle sue sezioni più essenziali al Capitolo 5, ed incluso nella sua totalità in Appendice A.

Il progetto presenta ancora delle forti limitazioni che potrebbero essere superate attraverso migliorie hardware, software o dall'aggiunta di sensori. Queste sono state elencate nel Capitolo 7, con il quale si è concluso questo progetto e, quindi, questa tesi.

# Appendice A

## Codice

### A.1 Matlab

```
1 clc;
2 clear all;
3
4 %keys[riga,ennesimo tasto della riga, 1=x 2=y]
5 cartesian = zeros(6,14,2);
6
7 %dimensioni dei 7 tipi di tasti lunghezzaXaltezza 1: prima riga e
   frecce; 2: lettere e numeri; 3: tab; 4: maiusc; 5:cmd; 6:
   shift lungo; 7: spazio
8 dimkeys_larghezza = [16 ; 15.5 ; 25 ; 30 ; 20 ; 39 ; 89];
9 dimkeys_lunghezza = [9; 15.5]; %prima riga; righe dalla due alla
   5 (la sesta, che ha un altro valore, trattata separatamente
   )
10 dimSpace = 3.8;
11
12 %% ordinate
13 %prima riga
14 ymax = 172.5; %tasti pi alti
15 for j = 1:14
16     cartesian(1,j,2) = ymax;
17 end
18 %righe 2-5
19 for j = 1:14
20     %alla seconda riga togliamo mezzo tasto del tipo1, uno spazio
   , mezzo tasto del tipo 2
21     cartesian(2,j,2)=cartesian(1,1,2) - (dimkeys_lunghezza(1)/2 +
   dimSpace + dimkeys_lunghezza(2)/2);
22     for i=3:5
```

```

23     %alle altre righe tolgo sempre 2 mezzi tasti del tipo 2 e
    uno spazio
24     cartesian(i,j,2) = cartesian(i-1,1,2) - (
    dimkeys_lunghezza(2) + dimSpace);
25     end
26 end
27 %ultima riga
28 for j = 1:14
29     cartesian(6,j,2) = 81;
30 end
31 % 4 frecce hanno altezze speciali
32 cartesian(6,8,2) = 75; %<-
33 cartesian(6,11,2) = 75; %->
34 cartesian(6,10,2) = 75; %freccia giu
35 cartesian(6,9,2) = 85; %freccia su
36
37 %% ascisse
38 %parto con x=0 sul lato esterno dei tasti pi a sinistra (
    metter poi un offset)
39 %la prima colonna ha tutti tasti di tipo diverso, quindi
    inserisco a mano
40 cartesian(1,1,1)=dimkeys_larghezza(1)/2;
41 cartesian(2,1,1)=dimkeys_larghezza(2)/2;
42 cartesian(3,1,1)=dimkeys_larghezza(3)/2;
43 cartesian(4,1,1)=dimkeys_larghezza(4)/2;
44 cartesian(5,1,1)=dimkeys_larghezza(5)/2;
45 cartesian(6,1,1)=dimkeys_larghezza(2)/2;
46
47 %prima riga
48 for j = 2:14
49     %il centro del tasto successivo mezzo tasto1 + spazio+
    mezzo tasto1
50     cartesian(1,j,1) = cartesian(1,j-1,1) + (dimkeys_larghezza(1)
    + dimSpace);
51 end
52 %seconda riga
53 for j = 2:13
54     cartesian(2,j,1) = cartesian(2,j-1) + dimkeys_larghezza(2) +
    dimSpace;
55 end
56 cartesian(2,14,1) = cartesian(2,13,1) + dimkeys_larghezza(2)/2 +
    dimSpace + dimkeys_larghezza(3)/2;
57 %terza riga
58 cartesian(3,2,1) = cartesian(3,1,1) + dimkeys_larghezza(3)/2 +

```

```
    dimSpace + dimkeys_larghezza(2)/2;
59 for j = 3:14
60     cartesian(3,j,1) = cartesian(3,j-1) + dimkeys_larghezza(2) +
        dimSpace;
61 end
62 %quarta riga
63 cartesian(4,2,1) = cartesian(4,1,1) + dimkeys_larghezza(4)/2 +
        dimSpace + dimkeys_larghezza(2)/2;
64 %Ignoro l'ultima casella perch l'invio lo considero solo nella
        riga sopra
65 for j = 3:13
66     cartesian(4,j,1) = cartesian(4,j-1) + dimkeys_larghezza(2) +
        dimSpace;
67 end
68 %quinta riga (ultima casella 0 perch la 5 riga ha solo 13 tasti
        )
69 cartesian(5,2,1) = cartesian(5,1,1) + dimkeys_larghezza(5)/2 +
        dimSpace + dimkeys_larghezza(2)/2;
70 for j = 3:12
71     cartesian(5,j,1) = cartesian(5,j-1) + dimkeys_larghezza(2) +
        dimSpace;
72 end
73 cartesian(5,13,1) = cartesian(5,12,1) + dimkeys_larghezza(2)/2 +
        dimSpace + dimkeys_larghezza(6)/2;
74 %sesta riga (ha solo 11 tasti)
75 for j = 2:3
76     cartesian(6,j,1) = cartesian(6,j-1) + dimkeys_larghezza(2) +
        dimSpace;
77 end
78 cartesian(6,4,1) = cartesian(6,3,1) + dimkeys_larghezza(2)/2 +
        dimSpace + dimkeys_larghezza(5)/2;
79 cartesian(6,5,1) = cartesian(6,4,1) + dimkeys_larghezza(5)/2 +
        dimSpace + dimkeys_larghezza(7)/2;
80 cartesian(6,6,1) = cartesian(6,5,1) + dimkeys_larghezza(7)/2 +
        dimSpace + dimkeys_larghezza(5)/2;
81 cartesian(6,7,1) = cartesian(6,6,1) + dimkeys_larghezza(5)/2 +
        dimSpace + dimkeys_larghezza(2)/2;
82 %frecce
83 cartesian(6,8,1) = cartesian(6,7,1) + dimkeys_larghezza(2)/2 +
        dimSpace + dimkeys_larghezza(1)/2;
84 cartesian(6,9,1) = cartesian(6,8,1) + dimkeys_larghezza(1) +
        dimSpace;
85 cartesian(6,10,1) = cartesian(6,9,1);
86 cartesian(6,11,1) = cartesian(6,10,1) + dimkeys_larghezza(1) +
```

```
dimSpace;
87
88 %sposto lo zero delle coordinate x da sinistra al centro (metto l
    'offset) e
89 %imposto come NaN i tasti senza coordinate (ovvero le coordinate
    che non corrispondono a nessun tasto)
90 offset = 142;
91 for j = 1:14
92     for i = 1:6
93         if cartesian(i,j,1)==0
94             cartesian(i,j,1) = nan;
95             cartesian(i,j,2) = nan;
96         else
97             cartesian(i,j,1) = cartesian(i,j,1) - offset;
98         end
99     end
100 end
101
102 %plot
103 scatter(reshape(cartesian(:,:,1), [], 1), reshape(cartesian(:,:,2)
    , [], 1), 'fill');
104 axis('equal');
105 ylim([60,190]);
106
107 for j = 1 : 14
108     for i = 1:6
109         line([0, cartesian(i,j,1)], [0, cartesian(i,j,2)]);
110     end
111 end
112
113 %% trasformazione in coordinate polari
114
115 %polar = [riga tasto, colonna tasto, 1=raggio 2=theta in gradi]
116 polar = zeros(6,14,2);
117
118 %da trigonometria so che raggio    sqrt(x^2 + y^2)
119 x_squared = cartesian(:,:,1).^2;
120 y_squared = cartesian(:,:,2).^2;
121 for j = 1:14
122     for i = 1:6
123         if(cartesian(i,j,1) == -150)
124             polar(i,j,1) = -1;
125         else
126             polar(i,j,1) = sqrt(x_squared(i,j)+y_squared(i,j));
```

```

127         end
128     end
129 end
130
131 %da trigonometria so che angolo = 90 se x=0; arctan(y/x) se x&y
    >0;
132 %arctan(y/x)+pi se x<0 (atan2d fa giu la suddivisione)
133 angoloOffset = 8.4;
134 for j = 1:14
135     for i = 1:6
136         polar(i,j,2) = atan2d(cartesian(i,j,2),cartesian(i,j,1))-
            angoloOffset;
137     end
138 end
139
140 %% cinematica inversa
141
142 %lunghezza link tra giunto1 e giunto2
143 s1 = 65;
144 %lunghezza link finale
145 t = 147;
146 %lunghezza penna
147 l = 55;
148 %lunghezza e angolo rispetto a t del vettore t+l
149 s2 = sqrt(t^2 + l^2);
150 theta = atand(l/t);
151
152 %altezza asse da terra
153 h = -85;
154
155 %angoli finali servos: angles = [servo1, servo2, servo3]
156 angles = zeros(6,14,3);
157 alpha = zeros(6,14);
158 beta = zeros(6,14);
159 frac = zeros(6,14);
160 sinn = zeros(6,14);
161 for i = 1:6
162     for j = 1:14
163         angles(i,j,1) = polar(i,j,2);
164         angles(i,j,3) = acosd((polar(i,j,1)^2+ h^2 -s1^2-s2^2)
            /(2*s1*s2));
165         sinn(i,j) = sind(angles(i,j,3));
166         frac(i,j) = (s2*sinn(i,j))/(sqrt(polar(i,j,1)^2+ h^2));
167         beta(i,j) = asind(frac(i,j));

```

```
168     alpha(i,j) = atand (h/polar(i,j,1));
169     angles(i,j,2) = abs(beta(i,j)) - abs(alpha(i,j));
170     end
171 end
172
173 for i = 1:6
174     for j = 1:14
175         angles(i,j,3) = angles(i,j,3) - theta;
176     end
177 end
178
179
180 %% struttura dati
181
182 %prima riga
183 alphabet = struct;
184 alphabet.esc = squeeze(angles(1,2,:));
185 alphabet.sSun = squeeze(angles(1,2,:));
186 alphabet.bSun = squeeze(angles(1,3,:));
187 alphabet.rectangles = squeeze(angles(1,4,:));
188 alphabet.squares = squeeze(angles(1,5,:));
189 alphabet.sLight = squeeze(angles(1,6,:));
190 alphabet.bLight = squeeze(angles(1,7,:));
191 alphabet.backward = squeeze(angles(1,8,:));
192 alphabet.startStop = squeeze(angles(1,9,:));
193 alphabet.forward = squeeze(angles(1,10,:));
194 alphabet.mute = squeeze(angles(1,11,:));
195 alphabet.sVolume = squeeze(angles(1,12,:));
196 alphabet.bVolume = squeeze(angles(1,13,:));
197 alphabet.onOff = squeeze(angles(1,14,:));
198 %seconda riga
199 alphabet.backslash = squeeze(angles(2,1,:));
200 alphabet.one = squeeze(angles(2,2,:));
201 alphabet.two = squeeze(angles(2,3,:));
202 alphabet.three = squeeze(angles(2,4,:));
203 alphabet.four = squeeze(angles(2,5,:));
204 alphabet.five = squeeze(angles(2,6,:));
205 alphabet.six = squeeze(angles(2,7,:));
206 alphabet.seven = squeeze(angles(2,8,:));
207 alphabet.eight = squeeze(angles(2,9,:));
208 alphabet.nine = squeeze(angles(2,10,:));
209 alphabet.zero = squeeze(angles(2,11,:));
210 alphabet.questionMark = squeeze(angles(2,12,:));
211 alphabet.pow = squeeze(angles(2,13,:));
```

```
212 alphabet.canc = squeeze(angles(2,14,:));
213 %terza riga
214 alphabet.tab = squeeze(angles(3,1,:));
215 alphabet.q = squeeze(angles(3,2,:));
216 alphabet.w = squeeze(angles(3,3,:));
217 alphabet.e = squeeze(angles(3,4,:));
218 alphabet.r = squeeze(angles(3,5,:));
219 alphabet.t = squeeze(angles(3,6,:));
220 alphabet.y = squeeze(angles(3,7,:));
221 alphabet.u = squeeze(angles(3,8,:));
222 alphabet.i = squeeze(angles(3,9,:));
223 alphabet.o = squeeze(angles(3,10,:));
224 alphabet.p = squeeze(angles(3,11,:));
225 alphabet.lbracket = squeeze(angles(3,12,:));
226 alphabet.plus = squeeze(angles(3,13,:));
227 alphabet.enter = squeeze(angles(3,14,:));
228 %quarta riga
229 alphabet.maiusc = squeeze(angles(4,1,:));
230 alphabet.a = squeeze(angles(4,2,:));
231 alphabet.s = squeeze(angles(4,3,:));
232 alphabet.d = squeeze(angles(4,4,:));
233 alphabet.f = squeeze(angles(4,5,:));
234 alphabet.g = squeeze(angles(4,6,:));
235 alphabet.h = squeeze(angles(4,7,:));
236 alphabet.j = squeeze(angles(4,8,:));
237 alphabet.k = squeeze(angles(4,9,:));
238 alphabet.l = squeeze(angles(4,10,:));
239 alphabet.at = squeeze(angles(4,11,:));
240 alphabet.hashtag = squeeze(angles(4,12,:));
241 alphabet.uAccentata = squeeze(angles(4,13,:));
242 %quinta riga
243 alphabet.shift1 = squeeze(angles(5,1,:));
244 alphabet.greater = squeeze(angles(5,2,:));
245 alphabet.z = squeeze(angles(5,3,:));
246 alphabet.x = squeeze(angles(5,4,:));
247 alphabet.c = squeeze(angles(5,5,:));
248 alphabet.v = squeeze(angles(5,6,:));
249 alphabet.b = squeeze(angles(5,7,:));
250 alphabet.n = squeeze(angles(5,8,:));
251 alphabet.m = squeeze(angles(5,9,:));
252 alphabet.comma = squeeze(angles(5,10,:));
253 alphabet.dot = squeeze(angles(5,11,:));
254 alphabet.dash = squeeze(angles(5,12,:));
255 alphabet.shift2 = squeeze(angles(5,13,:));
```

```

256 %sesta riga
257 alphabet.fn = squeeze(angles(6,1,:));
258 alphabet.ctrl = squeeze(angles(6,2,:));
259 alphabet.alt1 = squeeze(angles(6,3,:));
260 alphabet.cmd1 = squeeze(angles(6,4,:));
261 alphabet.space = squeeze(angles(6,5,:));
262 alphabet.cmd2 = squeeze(angles(6,6,:));
263 alphabet.alt2 = squeeze(angles(6,7,:));
264 alphabet.leftArrow = squeeze(angles(6,8,:));
265 alphabet.upArrow = squeeze(angles(6,9,:));
266 alphabet.downArrow = squeeze(angles(6,10,:));
267 alphabet.rightArrow = squeeze(angles(6,11,:));
268
269 %% check dei tasti
270
271 for i = 1:6
272     for j = 1:14
273         if angles(i,j,2) < 0
274             fprintf('l''angolo 2: %d %d risulta negativo \n',i,j)
275         ;
276         end
277         if imag(angles(i,j,2))~=0
278             fprintf('l''angolo 2: %d %d risulta complesso \n',i,j)
279         );
280         end
281         if angles(i,j,3) < 0
282             fprintf('l''angolo 3: %d %d risulta negativo \n',i,j)
283         ;
284         end
285         if imag(angles(i,j,3))~=0
286             fprintf('l''angolo 3: %d %d risulta complesso \n',i,j)
287         );
288         end
289     end
290 end

1 function printAngles(x)
2     fprintf('\n');
3     for k = 1:3
4         kk=k-1;
5         fprintf('finalAngle[%d]= %4.2f; \n', kk, x(k));
6     end
7     fprintf('\n');
8 end

```

## A.2 Arduino

```
1 //librerie
2 #include <Servo.h>
3 #include <Wire.h>
4 #include <Adafruit_GFX.h>
5 #include <Adafruit_SSD1306.h>
6 #define OLED_RESET      4
7
8 //variabili
9 //OLED
10 Adafruit_SSD1306 display(128, 64, &Wire, OLED_RESET);
11 //servo
12 int pin[] = {9,5,10};
13 //sizeof mi da il numero di byte occupato. numero di byte
    occupato dall'array diviso numero di byte per un elemento mi
    da il num di elementi
14 const int NUM_PIN = sizeof(pin)/sizeof(pin[0]);
15 Servo servo[NUM_PIN];
16 //variabili varie
17 double finalAngle[3];
18 double startingAngle[NUM_PIN]; //angoli da cui partono i giunti
19 double angle[NUM_PIN]; //angoli che modifico, parte uguale a
    startingAngle
20 int posMin = 0;
21 int posMax = 180;
22
23
24 void setup() {
25     //Baud Rate per comunicazione seriale
26     Serial.begin(115200);
27     //Setup schermo OLED
28     display.begin(SSD1306_SWITCHCAPVCC, 0x3C);
29     display.setTextColor(WHITE); //Imposta il colore del font
30     display.clearDisplay(); //cls
31     display.fillScreen(BLACK);
32     //associa i pin alle variabili servo
33     for (int i = 0; i < NUM_PIN; ++i) {
34         servo[i].attach(pin[i]);
35         startingAngle[i] = servo[i].read();
36         Serial.print(startingAngle[i]);
37         angle[i] = startingAngle[i];
38     }
39 }
```

```
40
41
42 void loop() {
43     //OLED
44     display.setTextSize(2); //Imposto la dimensione del font
45     display.setCursor(55,10); //Imposto dove vengono mostrate le
        lettere sullo schermo OLED
46
47     if (Serial.available() > 0) {
48         byte ch = Serial.read(); //legge il byte in entrata
49         display.fillScreen(BLACK); //metto l'OLED tutto nero
50         Serial.print("I received: ");
51         Serial.println((char)ch); //alla fine delle lettere legge
        sempre anche un "Line feed" (ascii 10)
52         display.setTextSize(5);
53         display.print((char)ch);
54         //Inizia a mostrare
55         display.display();
56         //movimento del robot
57         writeLetter(ch);
58         delay(1000);
59         moveNeutral();
60         delay(1000);
61     }
62 }
63
64 void moveNeutral(){ //angolo1 = 90, angolo2 = 45, angolo0 = non
        cambiato
65     //secondo servo
66     moveServo(1,90);
67     delay(100);
68     //primo servo
69     moveServo(2,45);
70 }
71
72 void moveServo(int num,double finalAngle){
73     int offet_degrees = 4;
74     boolean done = false;
75     while(!done){
76         if (angle[num] < finalAngle){
77             angle[num]=angle[num]+offet_degrees;
78             if (angle[num] > posMax){ //if di controllo che non si esca
                dai bound inizialeenti posti
79                 angle[num] = posMax;
```

```
80     done = true;
81   }
82   else if(angle[num] >= finalAngle){ //sono arrivata alla
fine?
83     angle[num] = finalAngle;
84     done = true;
85   }
86   servo[num].write(angle[num]);
87 }
88 else if (angle[num] > finalAngle){
89   angle[num]=angle[num]-offet_degrees;
90   if (angle[num] < posMin){ //if di controllo che non si esca
dai bound iniziale e posti
91     angle[num] = posMin;
92     done=true;
93   }
94   else if(angle[num] <= finalAngle){ //sono arrivata alla
fine?
95     angle[num] = finalAngle;
96     done = true;
97   }
98   servo[num].write(angle[num]);
99 }
100 else{
101   done = true;
102 }
103 delay(70);
104 }
105 }
106
107
108 void writeLetter(char ch){
109
110   //lettere
111
112   if (ch == 'a'){
113     finalAngle[0]= 122.04;
114     finalAngle[1]= 33.20;
115     finalAngle[2]= 62.89;
116   }
117   else if (ch == 'b'){
118     finalAngle[0]= 89.66;
119     finalAngle[1]= 38.40;
120     finalAngle[2]= 104.57;
```

```
121 }
122 else if (ch == 'c'){
123     finalAngle[0]= 109.67;
124     finalAngle[1]= 50.50;
125     finalAngle[2]= 96.16;
126 }
127 else if (ch == 'd'){
128     finalAngle[0]= 109.29;
129     finalAngle[1]= 44.69;
130     finalAngle[2]= 80.56;
131 }
132 else if (ch == 'e'){
133     finalAngle[0]= 107.59;
134     finalAngle[1]= 34.48;
135     finalAngle[2]= 64.86;
136 }
137 else if (ch == 'f'){
138     finalAngle[0]= 101.45;
139     finalAngle[1]= 48.51;
140     finalAngle[2]= 86.40;
141 }
142 else if (ch == 'g'){
143     finalAngle[0]= 92.76;
144     finalAngle[1]= 50.98;
145     finalAngle[2]= 90.16;
146 }
147 else if (ch == 'h'){
148     finalAngle[0]= 83.52;
149     finalAngle[1]= 52.03;
150     finalAngle[2]= 91.75;
151 }
152 else if (ch == 'i'){
153     finalAngle[0]= 69.40;
154     finalAngle[1]= 41.03;
155     finalAngle[2]= 74.96;
156 }
157 else if (ch == 'j'){
158     finalAngle[0]= 74.18;
159     finalAngle[1]= 51.59;
160     finalAngle[2]= 91.08;
161 }
162 else if (ch == 'k'){
163     finalAngle[0]= 65.22;
164     finalAngle[1]= 49.69;
```

```
165     finalAngle[2]= 88.20;
166 }
167 else if (ch == 'l'){
168     finalAngle[0]= 57.00;
169     finalAngle[1]= 46.41;
170     finalAngle[2]= 83.19;
171 }
172 else if (ch == 'm'){
173     finalAngle[0]= 67.56;
174     finalAngle[1]= 40.50;
175     finalAngle[2]= 103.16;
176 }
177 else if (ch == 'n'){
178     finalAngle[0]= 78.49;
179     finalAngle[1]= 37.53;
180     finalAngle[2]= 105.14;
181 }
182 else if (ch == 'o'){
183     finalAngle[0]= 61.96;
184     finalAngle[1]= 38.26;
185     finalAngle[2]= 70.69;
186 }
187 else if (ch == 'p'){
188     finalAngle[0]= 55.14;
189     finalAngle[1]= 34.13;
190     finalAngle[2]= 64.33;
191 }
192 else if (ch == 'q'){
193     finalAngle[0]= 119.16;
194     finalAngle[1]= 21.90;
195     finalAngle[2]= 45.50;
196 }
197 else if (ch == 'r'){
198     finalAngle[0]= 100.72;
199     finalAngle[1]= 38.51;
200     finalAngle[2]= 71.07;
201 }
202 else if (ch == 's'){
203     finalAngle[0]= 116.15;
204     finalAngle[1]= 39.60;
205     finalAngle[2]= 72.75;
206 }
207 else if (ch == 't'){
208     finalAngle[0]= 93.24;
```

```
209     finalAngle[1]= 41.18;
210     finalAngle[2]= 75.18;
211 }
212 else if (ch == 'u'){
213     finalAngle[0]= 77.28;
214     finalAngle[1]= 42.46;
215     finalAngle[2]= 77.14;
216 }
217 else if (ch == 'v'){
218     finalAngle[0]= 100.24;
219     finalAngle[1]= 42.95;
220     finalAngle[2]= 101.50;
221 }
222 else if (ch == 'w'){
223     finalAngle[0]= 113.73;
224     finalAngle[1]= 29.03;
225     finalAngle[2]= 56.46;
226 }
227 else if (ch == 'x'){
228     finalAngle[0]= 117.69;
229     finalAngle[1]= 50.11;
230     finalAngle[2]= 88.83;
231 }
232 else if (ch == 'y'){
233     finalAngle[0]= 85.33;
234     finalAngle[1]= 42.50;
235     finalAngle[2]= 77.21;
236 }
237 else if (ch == 'z'){
238     finalAngle[0]= 124.37;
239     finalAngle[1]= 44.12;
240     finalAngle[2]= 79.69;
241 }
242
243 //numeri
244
245 else if (ch == '1'){
246     finalAngle[0]= 117.91;
247     finalAngle[1]= 3.55;
248     finalAngle[2]= 17.59;
249 }
250 else if (ch == '2'){
251     finalAngle[0]= 113.04;
252     finalAngle[1]= 14.05;
```

```
253     finalAngle[2]= 33.49;
254 }
255 else if (ch == '3'){
256     finalAngle[0]= 107.61;
257     finalAngle[1]= 21.14;
258     finalAngle[2]= 44.34;
259 }
260 else if (ch == '4'){
261     finalAngle[0]= 101.63;
262     finalAngle[1]= 26.20;
263     finalAngle[2]= 52.10;
264 }
265 else if (ch == '5'){
266     finalAngle[0]= 95.17;
267     finalAngle[1]= 29.65;
268     finalAngle[2]= 57.41;
269 }
270 else if (ch == '6'){
271     finalAngle[0]= 88.33;
272     finalAngle[1]= 31.66;
273     finalAngle[2]= 60.51;
274 }
275 else if (ch == '7'){
276     finalAngle[0]= 81.29;
277     finalAngle[1]= 32.28;
278     finalAngle[2]= 61.48;
279 }
280 else if (ch == '8'){
281     finalAngle[0]= 74.26;
282     finalAngle[1]= 31.54;
283     finalAngle[2]= 60.33;
284 }
285 else if (ch == '9'){
286     finalAngle[0]= 67.45;
287     finalAngle[1]= 32.72;
288     finalAngle[2]= 59.40;
289 }
290 else if (ch == '0'){
291     finalAngle[0]= 67.45;
292     finalAngle[1]= 29.40;
293     finalAngle[2]= 57.04;
294 }
295
296 //caratteri speciali
```

```
297
298 else if (ch == ' '){
299     finalAngle[0]= 92.64;
300     finalAngle[1]= 19.71;
301     finalAngle[2]= 116.08;
302 }
303 else if (ch == 92){ // backslash
304     finalAngle[0]= 90; //vado in posizione neutra
305     finalAngle[1]= 90;
306     finalAngle[2]= 45;
307     Serial.println("can't reach \\");
308 }
309 else if (ch == 39){ // '
310     finalAngle[0]= 55.09;
311     finalAngle[1]= 20.61;
312     finalAngle[2]= 43.52;
313 }
314 else if (ch == '+'){
315     finalAngle[0]= 43.68;
316     finalAngle[1]= 21.30;
317     finalAngle[2]= 44.58;
318 }
319 else if (ch == '<'){
320     finalAngle[0]= 129.86;
321     finalAngle[1]= 36.97;
322     finalAngle[2]= 68.71;
323 }
324 else if (ch == ','){
325     finalAngle[0]= 57.56;
326     finalAngle[1]= 46.82;
327     finalAngle[2]= 98.80;
328 }
329 else if (ch == '.'){
330     finalAngle[0]= 48.91;
331     finalAngle[1]= 52.41;
332     finalAngle[2]= 92.33;
333 }
334 else if (ch == '-'){
335     finalAngle[0]= 41.65;
336     finalAngle[1]= 46.92;
337     finalAngle[2]= 83.98;
338 }
339 else{ //nel caso sia stato premuto un tasto non adatto o per il
    valore "newLine a fine frase" metto in posizione neutrale
```

```
340     finalAngle[0]= 90;
341     finalAngle[1]= 90;
342     finalAngle[2]= 45;
343     Serial.print("il tasto ");
344     Serial.print((char)ch);
345     Serial.println(" non risulta raggiungibile");
346 }
347 int i = 0;
348 moveServo(i, finalAngle[i]);
349 i = 2;
350 moveServo(i, finalAngle[i]);
351 i = 1;
352 moveServo(i, finalAngle[i]);
353 }
```



# Bibliografia

- [1] About Da Vinci Systems, Da Vinci Surgical System — Robotic Technology, Copyright: © 2022 Intuitive Surgical, davincisurgery.com, <https://www.davincisurgery.com/da-vinci-systems/about-da-vinci-systems>, ultima consultazione: 30/8/2022
- [2] Sun Yuan and Peng Yu Can't Help Myself, Can't Help Myself — The Guggenheim Museums and Foundation, Copyright: © 2022 THE SOLOMON R. GUGGENHEIM FOUNDATION, guggenheim.org, <https://www.guggenheim.org/artwork/34812>, ultima consultazione: 30/8/2022
- [3] Michael Newland, Studio, sviluppo e realizzazione di un mini-robot dimostrativo, 2017-2018, M00006 – Progetto di diploma, Dipartimento tecnologie innovative, Scuola universitaria professionale della Svizzera italiana, [https://tesi.supsi.ch/2499/1/MichaelNelwand\\_Studio%2C%20sviluppo%20e%20realizzazione%20di%20un%20mini-robot%20dimostrativo\\_Rapporto.pdf](https://tesi.supsi.ch/2499/1/MichaelNelwand_Studio%2C%20sviluppo%20e%20realizzazione%20di%20un%20mini-robot%20dimostrativo_Rapporto.pdf)
- [4] Moran ME. Evolution of robotic arms. *J Robot Surg.* 2007;1(2):103-11. doi: 10.1007/s11701-006-0002-x. Epub 2007 May 1. PMID: 25484945; PMCID: PMC4247431.
- [5] EMAS bionic arm, Copyright: © National Museums Scotland, Scottish Charity SC011130, nms.ac.uk, <https://www.nms.ac.uk/explore-our-collections/collection-search-results/prosthetic-arm/691231>, ultima consultazione: 30/8/2022.
- [6] Adept 5-DOF Robotic Arm Kit Compatible with Arduino IDE, Programmable DIY Coding STEM Educational 5 Axis Robot Arm with OLED Display Processing Code, Copyright: © 2014-2022 Adept.com, adept.com, [https://www.adept.com/adept-arduino-compatible-diy-5-dof-robotic-arm-kit-for-arduino-uno-r3-steam-robot-arm-kit-with-arduino-and-processing-code\\_p0118.html](https://www.adept.com/adept-arduino-compatible-diy-5-dof-robotic-arm-kit-for-arduino-uno-r3-steam-robot-arm-kit-with-arduino-and-processing-code_p0118.html), ultima consultazione: 30/8/2022.

- [7] Domenico Tessari, *La cinematica applicata alle macchine ad uso delle scuole d'applicazione per gli ingegneri degli ingegneri, e costruttori meccanici*, luogo: Ermanno Loescher, 1890, <https://quod.lib.umich.edu/u/umhistmath/ACA1491.0001.001/1?rgn=full+text;view=pdf>
- [8] Bruno Siciliano, Lorenzo Sciavicco, Luigi Villani, Giuseppe Oriolo, *Robotics: Modelling, Planning and Control*, Springer, 2009, [http://people.disim.univaq.it/~costanzo.manes/EDU\\_stuff/Robotics\\_Modelling,%20Planning%20and%20Control\\_Sciavicco\\_extract.pdf](http://people.disim.univaq.it/~costanzo.manes/EDU_stuff/Robotics_Modelling,%20Planning%20and%20Control_Sciavicco_extract.pdf).
- [9] Link to Adept Code and Tutorials of the ADA031-V4.0 robotic arm, <https://www.adept.com/learn/detail-64.html>.
- [10] Michela di Rocchi, Cinzia Ferrari, *I Mech: English for Mechanical Technology*, Hoepli, 2019.
- [11] MG90S datasheet, Unclassified Manufacturer, <https://pdf1.alldatasheet.com/datasheet-pdf/view/1132104/ETC2/MG90S.html>.
- [12] CH340 datasheet, WCH, upload time: 2022-05-24, [http://www.wch-ic.com/downloads/CH340DS1\\_PDF.html](http://www.wch-ic.com/downloads/CH340DS1_PDF.html)
- [13] GS2678 datasheet, GSM, <https://datasheetspdf.com/pdf-file/699027/SHENZHENGSMEELECTAONIC/GS2678/1>
- [14] ATmega328P datasheet, Atmel, 2015, [http://ww1.microchip.com/downloads/en/DeviceDoc/Atmel-7810-Automotive-Microcontrollers-ATmega328P\\_Datasheet.pdf](http://ww1.microchip.com/downloads/en/DeviceDoc/Atmel-7810-Automotive-Microcontrollers-ATmega328P_Datasheet.pdf).
- [15] Satoru Goto, *ROBOT ARMS*, InTech, 2011, <https://dl.icdst.org/pdfs/files3/36ee3042bc5837b2c458b15d5732ab00.pdf>.